

Entwicklung einer Rotationsplattform für den Hokuyo URG-04LX Laserscanner

Studienarbeit im Studiengang Computervisualistik

vorgelegt von

Christian Delis

Betreuer: Prof. Dr.-Ing. Dietrich Paulus, Institut für Computervisualistik,
Fachbereich Informatik
Erstgutachter: Prof. Dr.-Ing. Dietrich Paulus, Institut für Computervisualistik,
Fachbereich Informatik
Zweitgutachter: Dipl.-Inf. Johannes Pellenz, Institut für Computervisualistik, Fach-
bereich Informatik

Koblenz, im Mai 2006

Erklärung

Ich versichere, dass ich die vorliegende Arbeit selbständig verfasst und keine anderen als die angegebenen Quellen und Hilfsmittel benutzt habe und dass die Arbeit in gleicher oder ähnlicher Form noch keiner anderen Prüfungsbehörde vorgelegen hat und von dieser als Teil einer Prüfungsleistung angenommen wurde. Alle Ausführungen, die wörtlich oder sinngemäß übernommen wurden, sind als solche gekennzeichnet.

Die Richtlinien der Arbeitsgruppe für Studien- und Diplomarbeiten habe ich gelesen und anerkannt, insbesondere die Regelung des Nutzungsrechts

Mit der Einstellung dieser Arbeit in die Bibliothek bin ich einverstanden. ja nein

Der Veröffentlichung dieser Arbeit im Internet stimme ich zu. ja nein

Koblenz, den

Unterschrift

Inhaltsverzeichnis

- 1 Einleitung** **7**

- 2 Stand der Wissenschaft** **9**
 - 2.1 Messverfahren 9
 - 2.2 Scanmethoden 10
 - 2.3 Pitching Scan 11
 - 2.4 Yawing scan top 12

- 3 Aufbau und Realisierung der Rotationsplattform** **15**
 - 3.1 Hardware-Architektur 18
 - 3.1.1 Hokuyo URG-04LX Laserscanner 18
 - 3.1.2 Mikrocontroller Board 21
 - 3.1.3 Servomotor 24
 - 3.2 Aufbau Rotationsplattform 25
 - 3.2.1 Mechanischer Aufbau 25
 - 3.2.2 Elektronischer Aufbau 26
 - 3.3 Software-Architektur 27
 - 3.3.1 Programmierung des Atmega8-Microkontrollers 28

3.3.2	Programmierung der Kommunikationssoftware	34
3.3.3	Programmierung der GUI	35
3.3.4	Kommandozeilenversion der Kommunikationssoftware	38
4	Experimente und Ergebnisse	39
4.1	Versuchsaufbau	40
4.2	Ergebnisse	40
5	Zusammenfassung	45
A	Konstruktionszeichnungen	47
B	Aufbau Entwicklungs- und Softwareumgebung	49
B.1	Erkennung der Geräte	49
B.2	udev-rules	50
B.3	Programmierung des Mikrokontrollers	50
B.4	Sonstige Software	52
C	Quelltexte	53

Kapitel 1

Einleitung

Der Hokuyo URG-04LX Laserscanner wird auf der mobilen Roboter Plattform “Robbie” der Arbeitsgruppe Aktives Sehen zur Kartenerstellung und Kollisionsvermeidung eingesetzt. Beim Robocup 2006 konnte das Resko-Team damit sehr gute Karten der Umgebung anfertigen und so die Navigation durch die Arena erleichtern. Die Navigation auf Grundlage der 2D - Scans wird den gewachsenen Anforderungen der Rescue Arenen nicht mehr gerecht, die vielen Rampen führen zu fehlerhaft gemessenen Entfernungen und daraus resultieren ungenaue Karten. Hinzu kommen Hindernisse in unterschiedlichen Höhen, die mit einem statisch montierten 2D - Laserscanner nicht erfassbar sind. Eine Verwendung von kommerziellen 3D - Laserscannern kommt wegen der hohen Anschaffungskosten (> mehrere tausend Euro) nicht in Frage. Idee: Einsatz von mehreren günstigeren 2D - Laserscannern mit unterschiedlichen Blickwinkeln [TMD⁺06] oder aber die aktive Veränderung der Scanebene [Nüc06]. Das Variieren der Scanebene erfolgt durch Schwenken oder Drehen des Laserscanners [WW03, SD03]. Die Orientierung des Laserscanners im Raum liefert die dritte Dimension.

Im Rahmen dieser Arbeit soll eine Plattform entwickelt werden, die es durch rotative Lagerung des Laserscanners, ermöglicht, 3D-Laserscans der Umgebung zu erzeugen. Hierbei soll ein möglichst einfacher Aufbau erreicht werden, der es weiterhin ermöglicht, den Laserscanner zur Erzeugung von 2D Karten zu benutzen. Um das Stereokamerasystem des Roboters nicht zu beeinträchtigen, wird zusätzlich ein sehr kompakter Aufbau angestrebt.

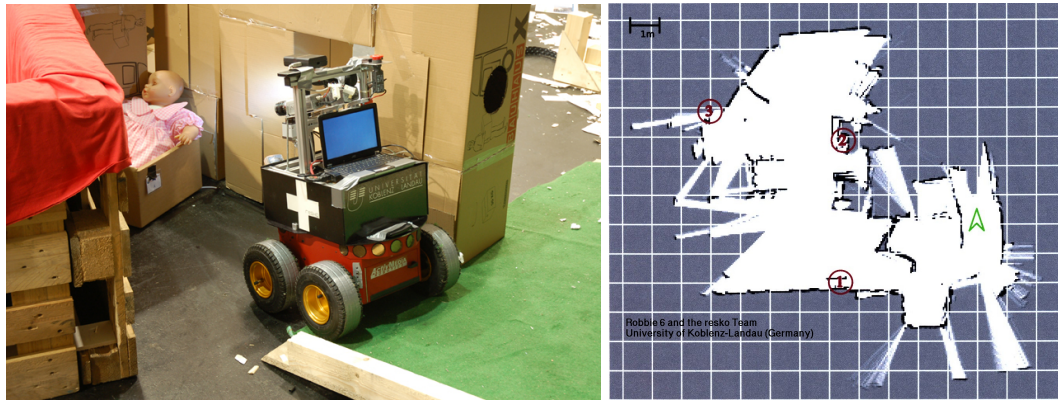


Bild 1.1: *Robbie* beim RoboCup 2006 (links), generierte Karte (rechts)

Der Aufbau der Arbeit ist wie folgt: im Anschluss findet sich eine genauere Beschreibung der vorhanden Arbeiten, in Kapitel 3 folgt die Erklärung über den Aufbau des eigenen Ansatzes. Experimente und eine Beurteilung der Ergebnisse werden in Kapitel 4 aufgeführt, den Schluss bildet Kapitel 5 mit einer Zusammenfassung der Arbeit.

Kapitel 2

Stand der Wissenschaft

2.1 Messverfahren

Um die Entfernung mit Hilfe eines Laserstrahls zu einem reflektierenden Objekt zu bestimmen existieren verschiedene Verfahren:

Time of flight Die meisten Lasermesssysteme beruhen auf dem Prinzip, bei dem die Lauf-
länge des ausgesendeten Laser Impuls gemessen wird. Aufgrund der hohen Ge-
schwindigkeit des Lichtes (3,3 picosekunden (10^{-12}) für 1 Millimeter) sind dafür
sehr genaue Timer notwendig.

Triangulation Bei der Triangulation wird das Objekt durch den Laser angeleuchtet, eine
Kamera sucht den Punkt. Der Laser, die Kamera und der Punkt bilden ein Dreieck.
Die Entfernung zwischen Kamera und Laser, sowie der Winkel aus der „Laserecke“
sind bekannt. Der Winkel aus der „Kameraecke“ kann durch die Stelle, an dem der
Laserpunkt auf die Bildebene projiziert wird, bestimmt werden. Mittels Triangula-
tion wird der Abstand zu dem Objekt berechnet.

Phasenmessverfahren Zur Entfernungsmessung wird die Phasendifferenz herangezogen,
diese ergibt sich aus einem Vergleich der Phasenlage des gesendeten Signals zum
empfangenen Signal.

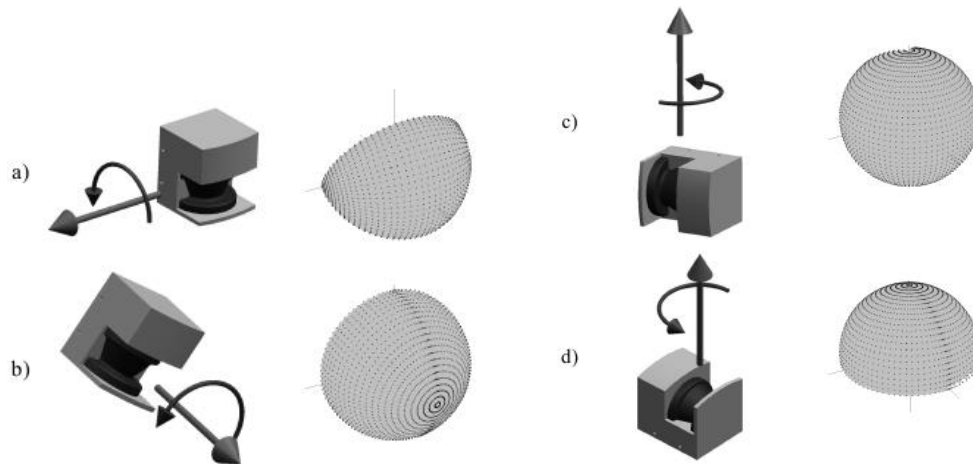


Bild 2.1: Scanmethode (links) und Messwertdichteverteilung (rechts): (a) pitching scan, (b) rolling scan, (c) yawing scan und (d) yawing scan top (*Quelle: [WW03]*)

2.2 Scanmethoden

Die Kombination eines 2D-Laserscanners mit einem Servomotor erlaubt verschiedene Anordnungen der Scanebenen und der Rotationsachsen, die zu unterschiedlichen Messfeldern führen. Abhängig von der Stellung der Rotationsachse zu der optischen Achse des Laserscanners ergeben sich verschiedene Dichtefunktionen der Messpunktverteilung. Die Dichteverteilung ist maximal nahe der Rotationsachse und minimal für Laserstrahlen orthogonal zur Rotationsachse. Wulf et al.(2003) [WW03] vergleicht und benennt vier Kombinationen dieser Scanmethoden:

Während beim *pitching scan* und beim *yawing scan* die Rotationsachse orthogonal zur optischen Achse steht, sind bei dem *rolling scan* und beim *yawing scan top* die Rotationsachse und die optische Achse identisch. Dies bedeutet, dass die höchste Dichte der Messpunkte in der mittleren „Blickrichtung“ des Laserscanners liegt. Die Auswahl der idealen Scanmethode ist somit abhängig von der Anwendung (3D-SLAM, Kollisionsvermeidung), den möglichen Montagestellen und der gewollten Dichteverteilung.

Neben der Unterscheidung nach der Orientierung des Sensorsystems, existieren auch Unterschiede in den Zeitpunkten an denen die Änderung der Scanebene erfolgt. Hier gibt es



Bild 2.2: AIS 3D Laserscanner, Quelle: [SLNH01]

zwei Arten, zu einem die sequenziellen Aufnahmeverfahren die Scannen, Rotieren, Scannen, ... oder die bei der permanenten Rotation Scannen. Während bei den sequenziellen Aufnahmeverfahren die Zuordnung der Orientierung (Rotationswinkel) für jeden Scan erfolgt, so ist es schwierig bei den permanent rotierenden Laserscannern jedem Messpunkt den richtigen Rotationswinkel zuzuordnen. Ein Pluspunkt, der sich ständig rotierenden Systeme, ist, dass hier praktisch keine Totzeiten durch das Zurückdrehen oder die Positionierung entstehen.

Nachfolgend werden zwei Beispiele zu verschiedenen Scanmethoden vorgestellt:

2.3 Pitching Scan

Grundlage des in "Aufbau eines 3D - Laserscanner für autonome mobile Roboter" [SLNH01] beschriebenen 3D-Laserscanners ist ein 2D-Laserscanner der Firma Schmersal, der drehbar gelagert wurde (Abbildung 2.2). Die Rotationsmöglichkeit ist quer zur optischen Hauptachse angebracht, dies ermöglicht eine Drehung senkrecht zur Blickrichtung. Der Laserscanner ist über die serielle Schnittstelle (COM1) mit einem PC verbunden, auf dem ein Real-Time Linux installiert ist. Das Echtzeitbetriebssystem übernimmt die zeitkritische Steuerung des Servomotors, der über die parallele Schnittstelle mit dem PC verbunden ist. Der so erfassbare Bereich umfasst $150^\circ \times 90^\circ$ bei einer Winkelgenauigkeit von 0.5° und einer Scangenaugigkeit von 5cm, dadurch können Auflösungen von bis zu 113400 Messpunkten erreicht werden.

Weitere Technische Daten des 3D-Laserscanners:

Grösse (B × H × T)	350mm × 240mm × 240mm
Gewicht	4,5kg
Betriebsspannung Laserscanner	24V
Drehmoment Servomotor	210Ncm
Reichweite	60m

2.4 Yawing scan top

Der permanent rotierende RoSi-Scanner (RoSi = Rotating Sick) [SD03] der Universität Karlsruhe besteht aus dem LMS 200 2D-Lasermesssystem der Firma Sick, das durch eine 10-Kanal Drehdurchführung mit einer Motor-Getriebe-Kombination gekoppelt ist. Hierbei entspricht die Rotationsachse der optischen Achse des Scanners. Die Signale des optisch inkrementellen Encoders werden quadraturkodiert an die Auswertelektronik weitergegeben. Zur Kommunikation des Scanners mit dem Standard-Embedded-PC wurde dieser um eine modifizierte RS-422 Interface Karte erweitert. Als Betriebssystem kommt ein normales Linux zum Einsatz.



Bild 2.3: RoSi = Rotating Sick, Quelle: [SD03]

Weitere Technische Daten des LMS200 von Sick:

Grösse (B × H × T)	155mm × 210mm × 156mm
Gewicht (nur Laserscanner)	4,5 kg
Betriebsspannung	24V
Genauigkeit	±2cm
Reichweite	80m

Der so erfassbare Bereich umfasst $100^\circ \times 360^\circ$, bei einer Auflösung von $0,25^\circ$ innerhalb der Scanebene, die rotatorische Winkelauflösung beträgt zwischen $0,9^\circ$ und $3,6^\circ$.

Kapitel 3

Aufbau und Realisierung der Rotationsplattform

Der vorhandene Aufbau des Roboters erlaubt die Montage des 3D-Sensorsystems mit der Scanmethode *yawing scan top* oberhalb des Stereokamerasystems oder unterhalb als *pitching scan* oder *rolling scan* (Vergleich Scanmethoden: 2.2). Da der 2D-Laserscanner weiterhin als solcher benutzt werden soll und ein möglichst niedriger Schwerpunkt des Aufbaus angestrebt wird, da der Roboter sonst auf Rampen umkippen und die teuren Sensoren beschädigen könnte, fällt die *yawing scan top* Montage raus. Desweiteren befindet sich die größte Dichteverteilung bei dem *yawing scan top* an der Decke, was in engen Fluren sehr gut als Orientierung dienen kann, jedoch in den Rescue Arenen mit Deckenhöhen ausserhalb der Reichweite des Laserscanners nicht sinnvoll ist. Bei den verbliebenden Scanmethoden, *pitching scan* und *rolling scan*, blickt der Laserscanner in Fahrtrichtung und kann so weiterhin als 2D-Laserscanner eingesetzt werden. Der *pitching scan* erzeugt zwei Regionen mit einer hohen Messwertdichte, jedoch liegen diese in den weniger interessanten Bereichen links und rechts an der Wand.

Im Gegensatz dazu liefert der *rolling scan* die höchsten Messwertdichten in der mittleren Blickrichtung des Laserscanners bzw. in der Blickrichtung des mobilen Systems und abnehmende Dichten zum Rand hin. Unter der Voraussetzung, dass der Roboter in die Richtung mit dem größten Interesse schaut, ist die Messpunktverteilung in diesem Sinne

ideal. Ein Vorteil des *pitching scan*, im Vergleich zum *rolling scan*, ist, dass die Messwerte Horizontal und Vertikal angeordnet sind und nicht radial, dies erleichtert die Segmentierung und Objekterkennung. Der *rolling scan* kann durch eine einfache Drehung um 90° auch als *yawing scan top* verwendet werden, was für andere Anwendungen der Arbeitsgruppe sinnvoll sein kann, da solch ein 3D-Scan die komplette obere Hemisphäre abdeckt. Aufgrund der Messwertverteilung und der größeren Flexibilität für spätere Anwendungen wurde sich für die *rolling scan* Methode entschieden.

Unabhängig von der Art der Montage musste geklärt werden, ob ein sich ständig rotierender Laserscanner oder ein sequenzielles Aufnahmeverfahren in Frage kam. Ein permanent rotierender Laserscanner setzt allerdings ein Echtzeitbetriebssystem voraus, da die Zeit zwischen dem Auslesen des Messwertes und der Übertragung der Position des Laserscanners gering sein bzw. mit einem konstanten Zeitversatz erfolgen soll. Die Bestimmung des Zeitversatzes ist für die genaue Zuordnung zwischen Winkel und Messpunkt wichtig, da der Laserscanner während dieser Zeitspanne weitergedreht wird. Der Zeitpunkt der Messung ist aufgrund der blockweisen Übertragung des Laserscanners und des fehlenden Zeitstempels nicht feststellbar. Auch die Vielzahl der anderen Geräte, die gleichzeitig mit dem USB-Bus des Notebooks kommunizieren, sorgen dafür, dass die Daten eine unbestimmte Zeit auf der Leitung verbleiben, diese Zeit lässt sich durch die unvorhersehbare Kommunikation anderer Geräte auch durch Kalibrierung nicht herausfiltern. Das Notebook der Arbeitsgruppe verwendet kein Echtzeitsystem und die Anbringung eines zusätzlichen PC104-Board oder Mini-ITX-Board kam aus Platzgründen und wegen des zusätzlichen Stromverbrauchs nicht in Frage, daher wurde sich gegen einen sich permanent rotierenden Laserscanner entschieden.

Als nächstes musste ein geeigneter technischer Aufbau gefunden werden um den Laserscanner nach jedem Scan ein Stück weiter zudrehen. Aufgrund des Öffnungswinkels von 240° des Laserscanners reicht eine Drehung um 180° aus, um einen vollständigen 3D-Scan der Umgebung zu erhalten. Nach jedem Scan schickt der Laserscanner innerhalb der Totzeit ein Sync Signal (Vergleich Bild: 3.1 rechts), dies sollte genutzt werden, um zu erkennen, wann ein Scan zu Ende ist und gleichzeitig als Signal dienen, den Laserscanner ein Stück weiterzudrehen. Da die Zeit zwischen Start des Sync-Signals und Start des neuen Scans lediglich 29,1ms beträgt, musste eine Lösung her, die es schafft, innerhalb

der vorgegeben 29,1ms die Drehung zu vollenden. Eine Überschreitung dieser Zeit hätte zur Folge, dass nur jeder zweite Scan brauchbar wäre, und die Scanzeit des Gesamtsystems sich dadurch verdoppeln würde. Die zeitkritische Steuerung der Positionierung der Motoren wird aus dem PC ausgelagert und einem Mikrokontroller Board übergeben.

Aus der Art des Motors ergaben sich zwei Möglichkeiten:

1. Die Verwendung eines Schrittmotors in Kombination mit einem Planetengetriebe. Eine Untersetzung des Planetengetriebes würde eine genaue Positionierung erlauben. Die aktuelle Position könnte mit Hilfe eines Winkelgebers oder Inkrementalgebers festgestellt werden. Das System könnte sich um 360° drehen, dies würde ein zurückdrehen überflüssig machen, jedoch würde es den Einsatz eines Schleifringes erfordern. Um den Schrittmotor anzusteuern ist ein Motortreiber erforderlich. Bei der Drehung um 360° würde der Sensor die Sicht des Stereokamerasystems beeinträchtigen. Dieser Aufbau ist mechanisch komplexer und von der Grösse und dem Gewicht her ungeeigneter als die zweite Alternative.
2. Ein Modellbauservo hat das Planetengetriebe schon integriert und die Positionsteuerung ist durch die Pulsweitenmodulation exakt möglich, dies macht die Verwendung eines Inkrementalgebers überflüssig. Auf einen Schleifring zur Übertragung der Daten kann ebenfalls verzichtet werden, da zur Anfangsposition zurückgedreht wird. Der Modellbauservo erlaubt einen wesentlich kompakteren Aufbau.

Die Überlegungen zum Aufbau haben zu einem sequenziellen Aufnahmeverfahren geführt, das System wird unterhalb des Stereokamerasystems montiert, die zeitkritische Ansteuerung des Servomotors wird von einem Mikrokontroller übernommen. Im folgenden werden zuerst die Hardwarekomponenten im einzelnen vorgestellt bevor der Aufbau der Rotationsplattform beschrieben wird.

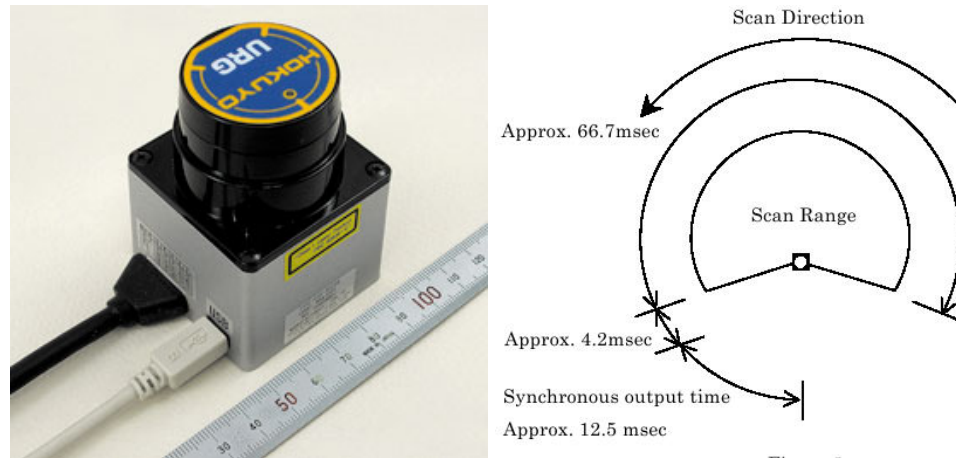


Bild 3.1: Hokuyo URG-04LX (Links), Scanablauf mit Totzeit (Rechts), (Quelle Bild links: [hok06], rechts: [URG05])

3.1 Hardware-Architektur

3.1.1 Hokuyo URG-04LX Laserscanner

Der Hokuyo URG-04LX Laserscanner [hok06] (Abbildung 3.1) ist ein Lasermesssystem für den Innenraum. Als Lichtquelle dient ein Infrarotlaser ($\lambda=785 \text{ nm}$) mit geringem Strahlungsniveau (Laserschutzklasse 1¹). Die Entfernungsmessung basiert auf dem weniger durch Oberflächenglanz und Objektfarbe verfälschbaren Prinzip der Phasendifferenzberechnung (Phasennessverfahren). Der Laserscanner hat eine Reichweite von bis zu 4 Metern² bei einer Auflösung von 1mm. Die Genauigkeit beträgt in einer Entfernung von 20 - 1000 mm $\pm 10\text{mm}$ und zwischen 1 - 4 Metern $\pm 1\%$. Bei einem Öffnungswinkel von 240° und einer Scanauflösung von 0.3515625° ($360^\circ \setminus 1024$) besteht eine Scanzeile aus 682 Messpunkten. Die Dauer eines Scans beträgt 100 ms.

Zu den besonderen Merkmalen zählen die geringen Abmessungen von $5 \text{ cm} \times 5 \text{ cm} \times 7 \text{ cm}$ (B \times T \times H) und sein geringes Gewicht von 160 gr. im Vergleich zu Sick Laser-

¹DIN EN 60825-1

²ab Firmware > Ver3.0.00 bis zu 5,6 Meter

scannern. Die Verbindung mit dem PC kann wahlweise über USB 2.0 oder RS232C erfolgen, wobei die Stromversorgung über den USB Anschluss nicht ausreichend ist. Im USB-Betrieb werden die Daten über USB versendet, die externe Stromversorgung erfolgt durch einen Steckverbinder (Abbildung 3.1), über den auch das Synchronisationsignal (Pinbelegung Tabelle 3.1) abgegriffen werden kann.

Pin	Semantik
1	NC
2	NC
3	Output (Sync Signal)
4	GND
5	RxD
6	TxD
7	0V
8	5VDC

Tabelle 3.1: Pinbelegung des Steckverbinders Quelle: [URG05]

Die Scandauer von 100 ms pro Scan setzt sich aus 66,7 ms echtem Scannen und 32,3 msec Totzeit, in der sich der Spiegel im „blinden“ Bereich befindet, zusammen (Abbildung 3.1 rechts). Dem aktiven Scannen folgt eine Ruhepause von 4.2 ms, danach gibt der Scanner ein Synchronisationssignal mit einer Dauer von 12,5 ms aus.

Die Datenkommunikation wird durch den Host gestartet, das Kommando setzt sich aus dem Kommandobuchstaben gefolgt von Parametern mit einem abschliessenden LF oder CR zusammen. Der Laserscanner sendet das Kommando zurück und hängt den Status und die Daten an das Kommando (Vergleich Tabelle 3.2), die Daten werden in Blöcken zu je 64 Bytes gesendet.

Mit dem G-Kommando (Tabelle: 3.2) wird der Scanvorgang angestoßen, für weitere Kommandos siehe [URG04]. Der Startpunkt gibt die „Step“ an, von der die Daten bis zu dem Endpunkt übertragen werden. Die Clustergröße gibt an, wieviele benachbarte Messpunkte der Sensor zu einem Cluster gruppiert, wobei er den kleinsten Wert überträgt. Ist der Status der Antwort ungleich 0, handelt es sich um einen Fehlercode. Die Daten bestehen

Host → Sensor

G	Start Punkt (3 Ziffern)	Endpunkt (3 Ziffern)	Cluster Anzahl (2 Ziffern)	LF or CR
---	-------------------------	----------------------	----------------------------	----------

Sensor → Host

G	Start Punkt (3 Ziffern)	Endpunkt (3 Ziffern)	Cluster Anzahl (2 Ziffern)	LF or CR
	Status	LF		
	Datenblock 1 (64 Bytes)	LF		
	...	LF		
	Datenblock N-1 (64 Bytes)	LF		
	Datenblock N (n Bytes)	LF	LF	

Tabelle 3.2: Scan Kommando Quelle: [URG04]

aus der gemessenen Entfernung. Zur Übertragung teilt der Sensor die 12 Bit Binärzahl in zwei 6 bit Zahlen und konvertiert diese in je 1-Byte, dies geschieht, in dem er zu jeder Zahl 0x30 hinzuaddiert. Zum Dekodieren wird 0x30 subtrahiert und nach dem Big Endian System die Zahlen zusammengeführt.

Beispiel:

$$1234mm = 010011010010_2$$

↓ Teilung

$$(010011_2, 010010_2) = (13H, 12H)$$

↓ +30H

$$(43H, 42H) = (C, D)$$

Die Winkelauflösung entspricht 0.3515625° , das heisst 768 Messpunkte für das 270 Grad Modell, bei dem 240 Grad Modell erfolgt die Messung zwischen der 44. und 725. Step. Die Steps³ 0, 384, 768 entsprechen dabei -135° , 0° und 135° in Bezug zur Frontachse (Abbildung 3.2). Die Umrechnung der Steps s in Grad erfolgt durch:

$$-135^\circ + (s * 360^\circ / 1024) \quad (3.1)$$

³papers/datasheets/laserscanner/URG-LX_StepAndAngle.pdf

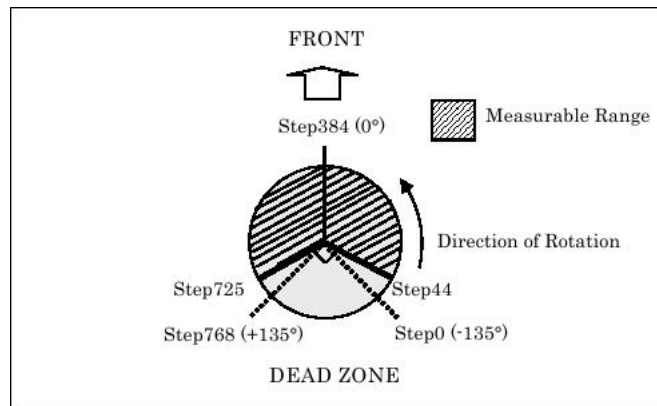


Bild 3.2: Bedeutung der Steps, Quelle: [URG04]

3.1.2 Mikrocontroller Board

Für die Auswahl des Microcontroller Boards waren folgende Anforderungen entscheidend:

- USB Anschluss, da das Notebook auf dem Roboter über keine seriellen Schnittstellen verfügt.
- Auf die Verwendung eines zusätzlichen seriell nach USB Umwandlers sollte wenn möglich verzichtet werden.
- Um die Akkus des Roboters zu schonen, sollte das Board ohne eine externe Stromversorgung auskommen.
- Einfache Programmierung des Microcontrollers.
- Zugriff auf die Standardfunktionen des Microcontrollers, kein großes allzweck Experimentierboard (z. B. mit Motortreiber, I^2C Schnittstelle usw.).
- Kompakte Bauweise, geringes Gewicht.

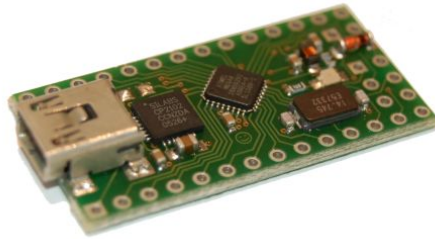


Bild 3.3: crumb8-USB, Quelle: [cru07]

Nach langer Recherche wurde das *Crumb8-USB Rapid Prototyping*⁴ Modul gefunden, was den oben genannten Anforderungen entsprach. Das Board ist mit einem Atmega8 AVR Mikrokontroller von Atmel ausgestattet. Neben einem externen Quarz mit 14,7456 MHz verfügt das Board über eine Status-LED die mit dem PB2 Pin des ATmegas verdrahtet ist. Der UART (Universal Asynchronous Receiver Transmitter) des ATmega8 ist direkt an den *CP2101 USB-TO-UART* Konverter von Silicon Laboratories⁵ angeschlossen, so dass das Modul über die Mini-USB Buchse mit dem PC verbunden werden kann. Die Stromversorgung erfolgt über den USB Anschluss.

Alle Signale/Pins des ATmega8 sind nach aussen geführt, mit 18mm × 36mm entspricht die Größe einem Standard DIL28 Modul. Das Raster von 2,54mm entspricht den üblichen Maßen, so dass das Modul wie ein DIL28 Gehäuse auf eine Platine gelötet werden kann. Desweiteren befinden sich auf dem Board Platzhalter für den ISP Stecker und einen Reset Jumper. Der Reset Jumper ermöglicht einen manuellen Reset des Mikrokontrollers. Der ISP (In-System Programming) Anschluss erlaubt eine Programmierung des Mikrocontrolllers im eingebauten Zustand.

Der ATmega8 RISC Mikrokontroller besitzt 8Kbyte nicht flüchtigen Flash Speicher als Programmspeicher, 1Kbyte Arbeitsspeicher (SRAM) und zusätzlich 512byte nicht flüchtigen EEPROM Speicher. Für die 32 je 8-Bit breiten Register stehen 130 interne Befehle⁶

⁴<http://www.chip45.com/Crumb8-USB>

⁵www.silabs.com

⁶papers/datasheets/microcontroller/AVRBefehle.pdf

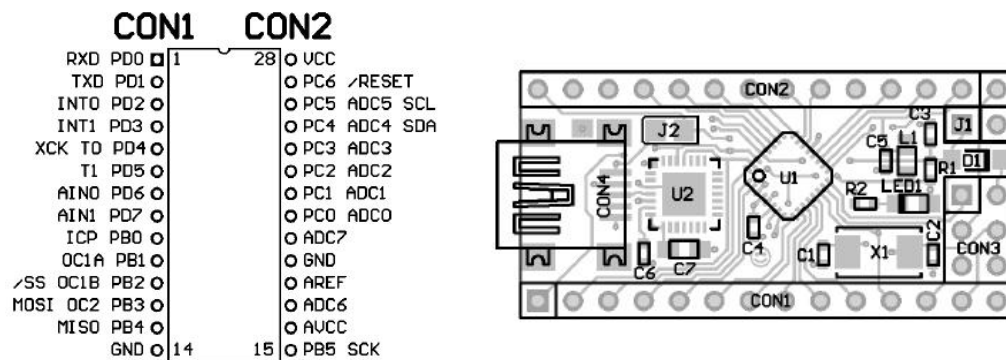


Bild 3.4: crumb8-USB Pins und Schema, Quelle: [cru07]

zur Verfügung.

Der Microkontroller ist programmierbar in Assembler, C/C++, Pascal und BASIC, siehe Anhang B.

Weitere Eigenschaften im Überblick:

- Zwei 8-Bit Timer/Counter
- Ein 16-Bit Timer/Counter
- Ein 10-Kanal ADC
- Zwei externe Interrupt Quellen

Um das Crumb8-USB Modul einsetzen zu können, musste es noch vorbereitet werden. Damit das Modul den Strom über den USB-Bus Anschluss bezieht, wurde die Lötbrücke J2 (Bild 3.4 rechts) mit einem kleinen Stück Draht geschlossen. Danach wurden die 6-polige Stiftleiste zur Programmierung und der Reset Jumper auf die Platzhalter CON3 und J1 gelötet. Schließlich wurde noch ein Fassungen angelötet damit das Modul später auf einer Platine befestigt werden konnte.

Im Auslieferungszustand ist der interne 1MHz RC Oszillator des ATmega8 eingestellt, durch Verändern sogenannter Fusebits wird der externe Quarz aktiviert. Für die serielle

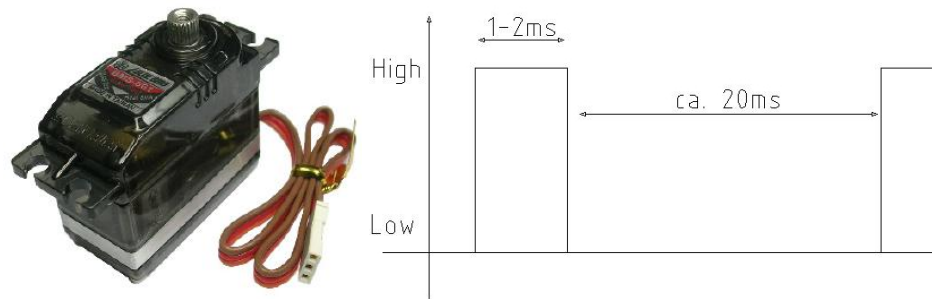


Bild 3.5: Servo und PWM, Quelle: [?]

Kommunikation ist das von Bedeutung, da der externe Quarz eine viel höhere Genauigkeit besitzt, zusätzlich ist die Geschwindigkeit des Moduls ca. 15 mal so hoch.

Im Anhang B wird beschrieben wie ein Programm auf den Mikrokontroller gespielt wird und wie das Setzen der Fusebits geschieht.

3.1.3 Servomotor

Bei der Auswahl des geeigneten Servos waren zwei Dinge wichtig. Zu einem war die Schnelligkeit (Stellzeit) ein entscheidendes Kriterium, da innerhalb der Totzeit der Laserscanner weitergedreht werden muss und bei geringer Anzahl von Scans die Gradzahl, um die gedreht werden muss steigt. Der Modellbauservo sollte so robust sein, den Belastungen auf Dauer standzuhalten. Der Stell- und Haltemoment sollte groß genug sein, den Sensor + Halterung zu drehen und an der Position halten zu können.

Der *BMS-661MG+HS Super Fast*⁷ der Firma Bluebird dreht 60° in 0,10sek/0,08sek (4,8V/6V) und verfügt über ein Stellmoment von 50Ncm/62Ncm (4,8V/6V). Die Stromaufnahme beträgt 350mA bei einer normalen Drehung und steigt auf 1150mA um die Position zu halten. Zwei Metallkugellager und das Metallgetriebe machen den Servo robust gegen die mechanischen Belastungen. Ein Kühlkörper schützt den Servo vor Überhitzung.

Die Ansteuerung des Servos erfolgt durch ein pulswertenmoduliertes Signal. Mit einer

⁷papers/datasheets/servo/BMS-661MG.pdf

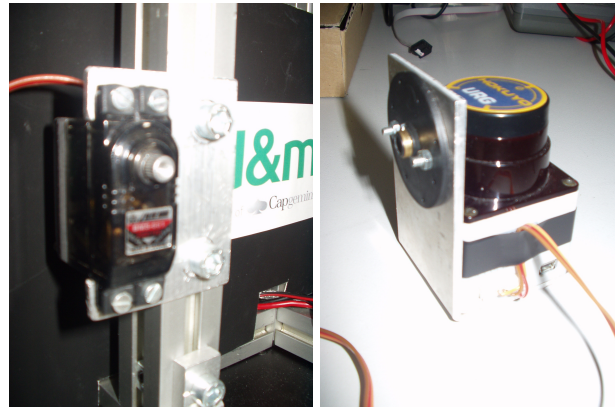


Bild 3.6: Servohalterung und L-Arm

Frequenz von etwa 20ms werden Impulse von 1-2ms Dauer an den Servo geschickt. Ein Impuls von 1 ms Dauer bedeutet linker Anschlag, 2 ms bedeutet rechter Anschlag, die Mittelstellung entspricht so einer Impulsdauer von 1,5 ms. Solange der Servo ein Signal bekommt versucht er diese Position zu halten.

3.2 Aufbau Rotationsplattform

Das nachfolgende Kapitel widmet sich der Anfertigung der Halterungen, anschliessend wird der Zusammenbau sowie die Verkabelung der elektronischen Bauteile näher beschrieben. In Abschnitt 3.3.1 wird auf die Programmierung der einzelnen Komponenten und der Ablauf des Scanvorgangs eingegangen.

3.2.1 Mechanischer Aufbau

Der Aufbau der Rotationsplattform besteht aus zwei Teilen, zum einen der Halterung für den Servo, die an den Aufbau des Roboters montiert wird und zum anderen aus dem Teil, an dem der Laserscanner festgeschraubt wird. Die Servohalterung wurde so konstruiert, dass sie sowohl horizontal wie auch vertikal an den Aluminiumprofilen in der Mitte des Roboters angebracht werden kann. Die Höhe des Gesamtsystems kann dadurch einfach

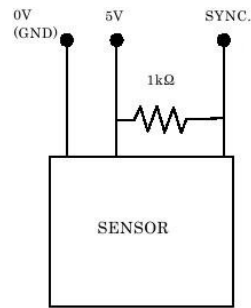


Bild 3.7: Open Collector Ausgang, Quelle: URG_Sync_Signal.pdf

variiert werden. Für die Halterung, die den Laserscanner aufnehmen sollte, wurde, da die Gewinde sich an der Bodenplatte des Laserscanners befinden, eine L-Form gewählt. Gemäß den zuvor angefertigten Zeichnungen (Anhang A) wurden aus 3 mm starkem Aluminiumblech die Halterungen ausgesägt, das L gebogen und die Löcher für die Schrauben gebohrt. Abbildung 3.6 zeigt den Aufbau.

3.2.2 Elektronischer Aufbau

Zuerst wurde mit Hilfe eines Oszilloskop festgestellt, wie das Sync-Signal des Laserscanners aussieht. Der Synchronisationsausgang des Laserscanners ist ein sogenannter Open Collector Output⁸, d.h. der Ausgang befindet sich in einem undefinierten Zustand. Um das Sync-Signal abgreifen zu können, musste mit einem $1\text{K}\Omega$ Widerstand der Sync-Ausgang auf High-Pegel gezogen werden (Abbildung 3.7 und 3.9). Das Sync-Signal ist somit konstant auf High-Pegel und fällt während den 12,5 ms (Vergleich Bild 3.1) auf Low-Pegel.

Blockschaltbild Das Blockschaltbild (Bild: 3.8) gibt eine schematische Übersicht über die Verbindung der einzelnen Komponenten und deren Kommunikationskanäle. Stromversorgung und Stromquelle fehlen. Der Laserscanner überträgt die Daten über USB an den PC und liefert nach jedem Scan ein Sync-Signal. Der Mikrokontroller empfängt das Sync-Signal, überträgt die Position an den PC und steuert den Servo an.

⁸papers/datasheets/laserscanner/URG_Sync_Signal.pdf

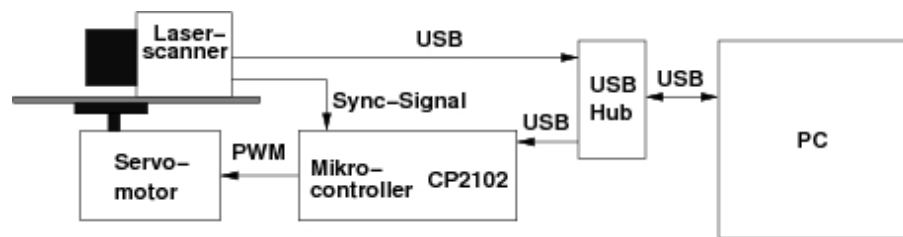


Bild 3.8: Schematische Darstellung der Hardware und Kommunikationskanäle des 3D-Laserscanners ohne Stromversorgung, Quelle: [PDMP06]

Stromversorgung und Platine Die Stromversorgung des Laserscanners und Servos (5V) erfolgt über einen 12V nach 5V Konverter auf dem Roboter. Normalerweise besitzt der Roboter einen 5V Anschluss, der allerdings während dieser Studienarbeit nicht funktionierte. Die Platine (Abbildung 3.9) hat somit 3 Anschlussleitungen (Strom, Servo und Laserscanner).

3.3 Software-Architektur

Die Software besteht aus drei Komponenten:

- Firmware des Mikrokontrollers für die Ansteuerung des Servos im 2D und 3D-Modus.
- Kommunikationssoftware auf dem PC für die Anforderung von 3D-Scans.
- Graphisches Benutzerinterface für die Kommunikationssoftware und Weiterverarbeitung (Visualisierung und Auswertung) der Scans.

Nachfolgend werden die einzelnen Softwarekomponenten näher vorgestellt.

- 3D Scan Steuerung
- Position des Servos wird für den 2D-Betrieb gehalten
- die Softwareversion wird gesendet

Nach der Ausführung wird die Wartestellung wieder eingenommen und auf eine neue Anfrage gewartet.

3D Scan Steuerung

Die Pulsweitenmodulation (PWM) kann durch die eingebauten Timer erfolgen oder mit Hilfe der Software. Während der Programmausführung muss die PWM ständig generiert werden, damit der Servo seine Position hält. Das Programm verwendet die Software PWM. Dies geschieht durch high schalten eines Pins, Dauer des High Signals warten (Anzahl von Takten), Pin Low schalten und 20ms warten. Eine Impulsdauer von 1-2ms reicht nicht aus, um die 180° Drehung des Servos zu erreichen, es musste herausgefunden werden welche Impulsdauer eingesetzt werden muss. Diese wurde mit Hilfe der Programme *lasercontrol_const_start.asm* und *laserscontrol_const_end.asm*, welche den Servo konstant auf der Anfangsposition bzw. Endposition halten, durch Veränderung der Anfangsimpulsdauer und Endimpulsdauer ermittelt. Das Ergebnis der Kalibrierung war, dass die 180° bei einer Anfangsimpulsdauer von 11490 Takten (ca. 0,78ms) und einer Endimpulsdauer von 32140 Takten (ca. 2,18ms) erreicht werden kann.

Nach jedem Scan wird die Impulsdauer des High Signals um die Schrittweite erhöht, so dass der Servo ein Stück weitergedreht wird. Die Schrittweite ergibt sich aus der Differenz zwischen End- und Anfangsimpulsdauer geteilt durch die Anzahl der gewünschten 2D-Scans. Da der Mikrokontroller nur Ganzzahlen verarbeiten kann entsteht durch die Diskretisierung ein Fehler. Um diesen Fehler auszugleichen, wird der Bresenham Algorithmus benutzt, danach wird zu der Impulsdauer entweder *Schrittweite* oder *Schrittweite+1* hinzuaddiert. Um die Ressourcen des Mikrokontrollers zu schonen wird die Berechnung des Bresenham auf den PC ausgelagert. Da die Anzahl der Takte größer als Anzahl der 2D-Scans ist, und der Bresenham Algorithmus normalerweise über die größere Zahl

iteriert, konnte dieser nicht direkt verwendet werden.

$$\text{Endimpulsdauer} - \text{Anfangsimpulsdauer} = \text{Schrittweite} * \text{Scananzahl} + \text{Rest}$$

Als Parameter für den Bresenham Algorithmus wird der Rest und die Scananzahl genommen, der Rest ist immer kleiner als die Scananzahl. Die Schrittweite wird auf den Mikrocontroller übertragen sowie für jeden Scan der Offset 0 oder 1 als Schrittkorrektur.

Durch Empfang von REQUEST_3D_SCAN_CTRL wird die Steuerung für einen 3D-Scan gestartet (siehe auch Abbildung 3.10 Unterzustandsautomat SM 3D_SCAN_CTRL). Der μC empfängt nun die Anfangsimpulsdauer (2 Bytes) als *Low*- und *High*-Byte, diese bestimmt an welcher Position der Servo startet. Die Schrittweite (2 Bytes) folgt darauf bevor die Scananzahl (Anzahl der 2D-Scans, 1 Byte) empfangen und zur Kontrolle zurück gesendet wird. Anschließend wird die Schrittkorrektur empfangen, im Arbeitsspeicher abgelegt und zurück gesendet. Danach wird zur Kontrolle die Anzahl der empfangenen Schrittkorrekturen an den PC zurückgesendet. Nach dem alle erforderlichen Daten vorhanden sind, wird der Servo an die Anfangsposition bewegt. Dies geschieht durch Ausgabe der PWM an Pin PD5. Damit der PC erst ein 2D-Scan vom Laserscanner anfordert, wenn der Servo an der Anfangsposition steht, muss das PC-Programm solange angehalten werden. Dies wird durch blockierendes Lesen des Sync-Bytes im PC-Programm erreicht, welches der μC sendet nach dem der Servo an der Anfangsposition steht. Der externe Interrupt wird so konfiguriert, dass die Interruptroutine bei einer fallenden Flanke ausgeführt wird. Der Laserscanner sendet sobald er Strom hat ständig das Synchronisationssignal, daher wird der Externe Interrupt erst jetzt eingeschaltet.

Die Befehle:

- Globalen Interrupt ausschalten,
- Pin PD5 High setzen,
- High Impulsdauer warten,
- Pin PD5 Low setzen,
- Globalen Interrupt einschalten,

- 20 ms warten

werden solange ausgeführt, bis die Scananzahl erreicht ist. Der Mikrokontroller besitzt einen globalen Interrupt Schalter, mit dem sich alle Interrupts ausschalten lassen, sowie einen Schalter für jeden einzelnen Interrupt. Während der High-Impulsdauer darf keine Interruptroutine ausgeführt werden, da die Dauer eingehalten werden muss. Der Globale Interrupt wird hier ausgeschaltet und nicht der externe Interrupt, weil so durch das Setzen eines Bites in einem Register gespeichert wird wenn während der High Impulsdauer der externe Interrupt auftritt. Sobald der Globale Interrupt wieder eingeschaltet wird, beginnt die Abarbeitung der Interruptroutine. In der Interruptroutine wird die Position (aktuelle Scanzahl) als Byte an den Client gesendet. Zu der aktuellen High-Impulsdauer wird die Schrittkorrektur und die Schrittweite hinzuaddiert, der Servo dreht sich bei dem nächsten High-Impuls dann ein Stück weiter. Bevor die Interruptroutine verlassen wird, wird die aktuelle Position inkrementiert. Wenn die maximale Position erreicht ist, übermittelt der μC die High-Impulsdauer (2 Bytes) zur Kontrolle an den PC. Zum Schluss geht das Programm wieder in die Wartestellung.

2D-Betrieb - Position halten

Sendet der Client `REQUEST_HOLD_2D_POS`, geht der Mikrokontroller in den Betriebsmodus die 2D-Position zu halten, dazu übermittelt der Client die Halteposition in Anzahl von Takten, die der Highimpuls dauern soll (siehe auch Abbildung 3.10 Unterzustandsautomat `SM_HOLD_2D_POS`). Zur Kontrolle wird das *Low*-Byte zurückgesendet und anschliessend der `UART_RX_Complete` Interrupt eingeschaltet, dessen Interruptroutine nach dem Empfang eines Zeichens ausgeführt wird. Die PWM wird nun generiert, in dem die Befehle:

- Globalen Interrupt ausschalten,
- Pin PD5 High setzen,
- High Impulsdauer warten,
- Pin PD5 Low setzen,

- Globalen Interrupt einschalten,
- 20ms warten

ausgeführt werden bis der Client einen `REQUEST_STOP_2D` sendet. Durch den Empfang wird die Generierung der PWM unterbrochen und in die Wartestellung zurückgekehrt.

Softwareversion senden

Mit `REQUEST_VERSION` kann der Client die aktuelle Softwareversion anfordern, geantwortet wird darauf mit dem String *Lasercontrol Program: Version 1.0*, gefolgt von einem *LF* und *CR* Zeichen. Danach kehrt der Mikrokontroller wieder in die Wartestellung zurück.

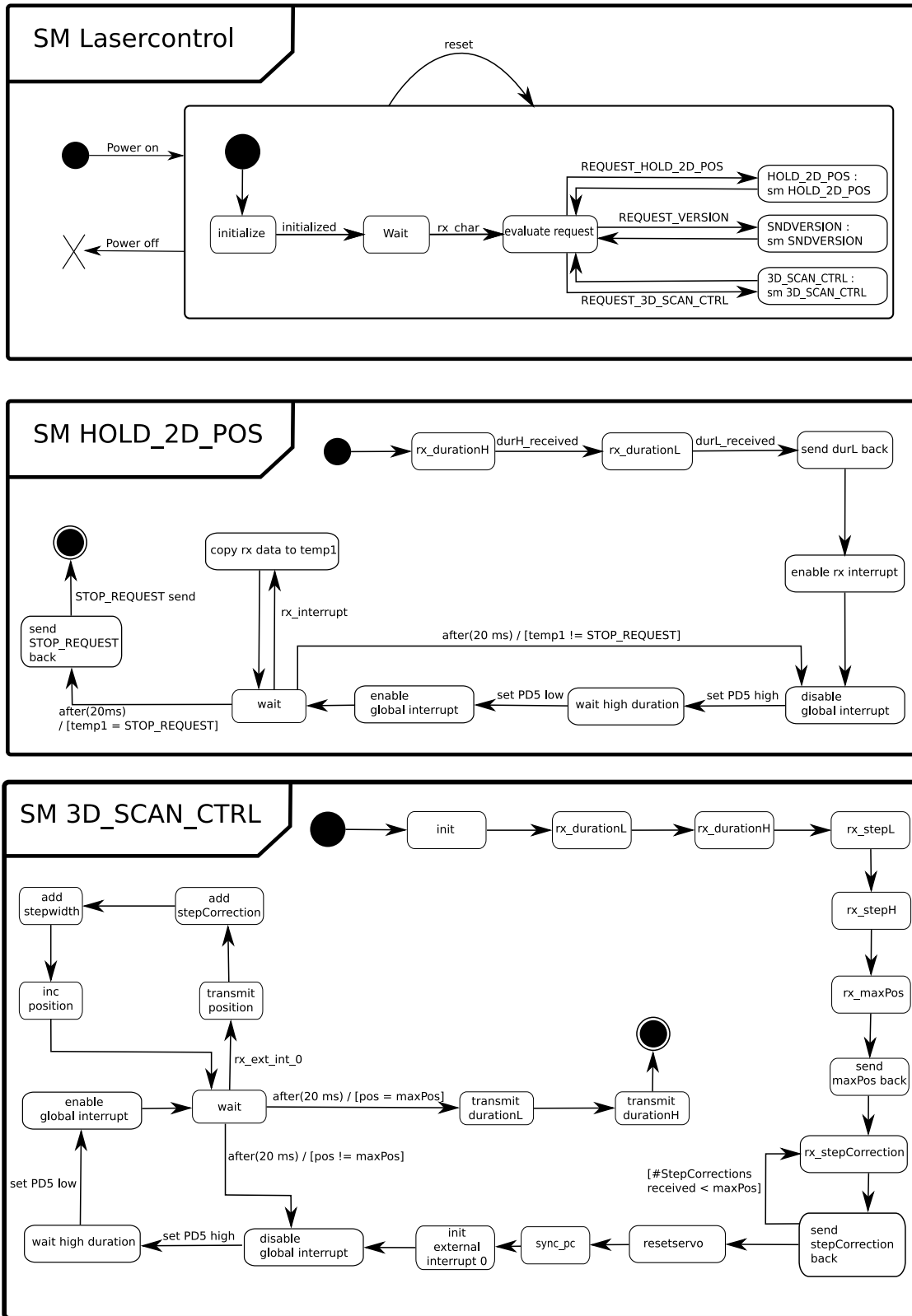


Bild 3.10: Zustandsübergangsdiagramm des Microkontrollers

3.3.2 Programmierung der Kommunikationssoftware

Die Kommunikationssoftware besteht aus der Klasse *DataReader*, die sowohl die Kommunikation mit dem Laserscanner und Mikrokontroller übernimmt, als auch das Abspeichern und Öffnen von 3D-Scans kapselt. Sie bindet die Datei `config.h` ein in der einige Konstanten definiert sind. Die Klasse benutzt die Klasse *Laserscanner3D* von Stephan Wirth, welche eine Implementierung des l3d Formats¹¹ von Stephan Wirth ist. Die 3D-Scans können in dem l3d Format abgespeichert und wieder geöffnet werden.

Der Laserscanner und das Mikrokontroller Modul können als normale Geräte angesprochen werden (Anhang B). In `void connectDevices()` werden die Geräte geöffnet und mit `bool setupSerial(int aFd, speed_t speed)` die Einstellungen der Flusskontrolle, Baudrate, Frameformat etc. vorgenommen.

Um einen 3D-Scan anzufordern wird die Funktion `void getScanFromLaser(int resolution, int startpos, int endPos, int* numPoints, float** xCoords, float** yCoords, float** zCoords)` verwendet. Als Parameter erhält sie die gewünschte Scananzahl (resolution), die Anfangsimpulsdauer und Endimpulsdauer in Takten. In der Variable `numPoints` ist nach der Ausführung die Anzahl der gemessenen Punkte und in den Arrays die kartesischen Koordinaten (XYZ) zu jedem Punkt gespeichert. Innerhalb der Funktion werden die Parameter auf Gültigkeit überprüft, die Werte berechnet und nachdem dieser verbunden ist, an den μC übertragen. Die Schrittkorrektur wird berechnet und ebenfalls übertragen. Danach wird das Programm solange mit Hilfe eines blockenden Lesevorgangs angehalten bis der Mikrokontroller ein Synchronisationsbyte sendet, um anzuzeigen, dass der Servo an der Anfangsposition ist. Nun wird ein 2D-Scan mit `int * urgGetScan(0, 768, 1)` angefordert, die Position als Ganzzahl ausgelesen bis die Scananzahl erreicht ist. Mit Hilfe der Rohdaten wird ein *Laserscan3D* Objekt `m_myScan` erstellt und die Parameter mit `m_myScan->get3DPoints(numPoints, xCoords, yCoords, zCoords)` durchgereicht.

Für den 2D-Betrieb wird die Funktion `void holdPos(int holdpos)` mit der Position in Anzahl von Takten aufgerufen. Schließlich kann der 2D-Betrieb durch Aufruf von `void stopHoldPos()` unterbrochen werden. Dort wird `REQUEST_STOP_2D` zu

¹¹siehe `papers/datasheets/l3d_specification/Spezifikation-l3d-1.0.txt`

dem Mikrokontroller geschickt, was ihn veranlasst in die Wartestellung zurückzukehren.

Zum Speichern des aktuellen 3D-Scans wird der Dateiname an die Funktion `void saveScanToL3DFile (QString filename)` übergeben. Das Öffnen einer Datei im l3d Format geschieht mit der Methode `void getScanFromFile (QString filename, int* numPoints, float **xCoords, float** yCoords, float** zCoords)`. Die Datei *filename* wird geöffnet und die kartesischen Koordinaten in den übergebenen Arrays gespeichert.

Umrechnung der Koordinaten

Die Umrechnung der Step s des Laserscanners in den Winkel ϕ (Rad) erfolgt durch:

$$\phi = (-135^\circ + (s * 360^\circ / 1024)) * \pi / 180$$

Aus der Position p , die der Mikrokontroller liefert, und der Scananzahl n läßt sich der Winkel θ (Rad) des Laserscanners folgendermaßen berechnen $\theta = p * 180 / n$. Für die *Yawing scan top* Methode lassen sich die kartesischen Koordinaten nun einfach aus den Kugelkoordinaten berechnen. Der Radius r entspricht hier der gemessenen Entfernung.

$$x = r * \sin \phi * \cos \theta \quad (3.2)$$

$$y = r * \sin \phi * \sin \theta \quad (3.3)$$

$$z = r * \cos \phi \quad (3.4)$$

Durch Vertauschen von x durch z und z durch $-x$ bekommt man die Umrechnung für die *Rolling scan* Methode.

3.3.3 Programmierung der GUI

Die GUI (*main3DLaserScanner*) dient als Grafische Oberfläche zur Steuerung mit Hilfe der bereits vorgestellten Kommunikationsoftware, sowie der Anzeige und Visualisierung der 3D-Scans. Die Oberfläche wurde in C++ unter Verwendung von QT¹² und OpenGL¹³

¹²<http://www.trolltech.com/>

¹³<http://www.opengl.org>

Datei	Inhalt
mainwindow.h	Headerdatei der MainWindow-Klasse
mainwindow.cpp	Implementierung der Oberfläche
glwidget.h	Headerdatei der GLWidget Klasse
glwidget.cpp	Implementierung des Fensters zur Visualisierung der Daten
datareader.h	Headerdatei der DataReader-Klasse
datareader.cpp	Implementierung des Kommunikationsprogramm
main.cpp	Hauptprogramm, enthält die main Routine
Laserscan3D.h	Headerdatei der LaserScan3D-Klasse
Laserscan3D.cpp	Implementierung des l3d Formats von Stephan Wirth
config.h	Konstantendefinition
main3DLaserScanner.pro	pro Datei, mit qmake lässt sich das Makefile erzeugen

Tabelle 3.3: Dateien zur main3DLaserScanner GUI

entwickelt (siehe Anhang B). Das Hauptfenster ist ein Objekt der Klasse GLWidget die von QGLWidget abgeleitet ist. Das QGLWidget kann OpenGL Grafiken innerhalb einer QT Applikation darstellen und kann wie ein normales QWidget verwendet werden. In der Unterklasse werden die `paintGL()`, `resizeGL()` und `initializeGL()` Methoden überschrieben. Die GUI befindet sich im Verzeichnis *main3DLaserScanner*, die Dateien sind in Tabelle 3.3 aufgelistet. Die Klasse MainWindow bildet das Gerüst für das GLWidget Objekt. Das GLWidget Objekt besitzt eine Membervariable von Typ DataReader. Die *Signale* von dem MainWindow sind mit den *Slots* des GLWidget verbunden. Die 3D-Scans werden als Punktwolke mit Hilfe der OpenGL Datenstruktur `GL_POINTS` dargestellt. Zur schnelleren Darstellung werden sogenannte Displaylisten verwendet. Die Bedienung erfolgt über das Menü oder das QDockWidget (Abbildung 3.11), das über Menü *View->Control* ein- und ausgeblendet werden kann. Über das Menü *File* lässt sich ein neuer 3D-Scan anfordern, ein vorhandener öffnen oder der aktuelle abspeichern. Die Auswahl der Datei erfolgt über einen Datei Dialog. In dem Menü *View* sind Eigenschaften, die die Anzeige betreffen, zusammengefasst. Die Kantenlänge des Gitters (Grid) entspricht 50 cm in der Wirklichkeit. Die Farben der jeweils positiven Achsen (axis) stehen für weiß = x-Achse, gelb = y-Achse und blau für die z-Achse. Die Verwendung von Displaylisten kann im Me-

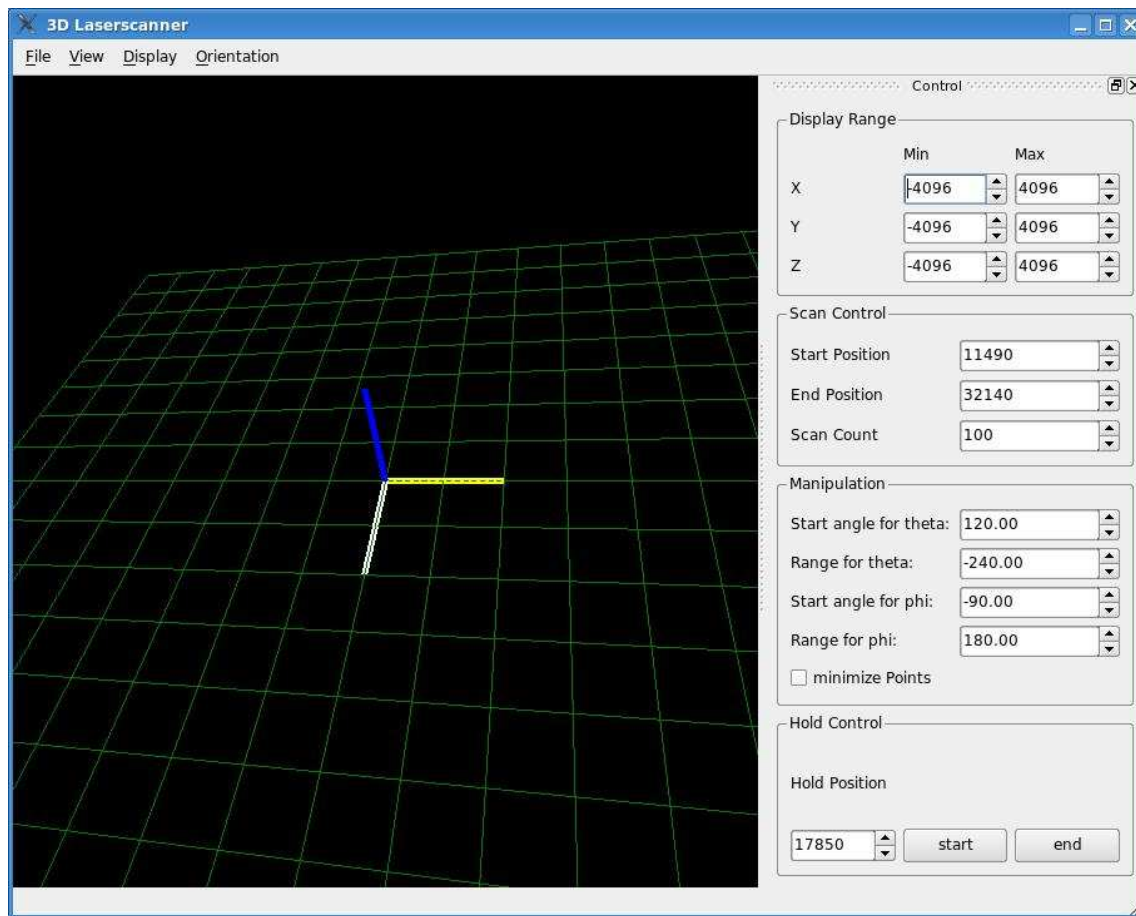


Bild 3.11: main3DLaserScanner GUI

nü *Display* bei Bedarf abgeschaltet werden. Um die Framerate anzeigen zu lassen, muss das Programm zuvor mit der Präprozessor-Direktive `__PTEST__` kompiliert werden. Unter *Orientation* kann die Anzeige zwischen *rolling scan* und *yawing scan top* umgeschaltet werden.

Über das Dockwidget kann der Bereich eingestellt werden, der angezeigt wird, dabei werden alle Punkte angezeigt, die zwischen dem Min und Max Wert liegen. Um diese Funktion zu nutzen, muss die Verwendung von Displaylisten abgeschaltet werden. Darunter befindet sich die Steuerung für den 3D-Scan, hier kann die Scananzahl verstellt werden, Werte zwischen 40 und 255 sind möglich. Die Manipulation bezieht sich auf die Interpre-

tation der 3D-Scans. Sie ist aus dem I3d Viewer von Stephan Wirth übernommen. Hier lässt sich der Start von Polar- und Azimuthwinkel, sowie der Winkelbereich verändern. Ganz unten befindet sich die Steuerung für den 2D-Betrieb des Laserscanners, hier kann man nur die Position angeben, an der der Laserscanner gehalten wird. Es lassen sich keine 2D-Scans anzeigen. Mit der Maus kann man die Szene rotieren, wenn die Maus bei gedrückter Maustaste über das GlWidget bewegt wird. Durch Drehen des Mausekzes kann man in die Szene rein- und rauszoomen.

3.3.4 Kommandozeilenversion der Kommunikationssoftware

Bevor das oben vorgestellte Programm entwickelt wurde, entstand eine Version die in C geschrieben war und die Rohdaten in eine Textdatei schrieb.

Das Programm *laser3dFileOutput.c* bekommt als Parameter die Gerätedatei des Mikrokontrollers und den Dateinamen, in der die Daten geschrieben werden sollen, übergeben. Die Ausgabe erfolgt in dem Format `Stepnummer Entfernung Position` gefolgt von einem Zeilenumbruch. Die Scananzahl ist innerhalb des Programms über eine Präprozessor Anweisung auf 100 festgelegt, diese ist jedoch veränderbar.

Der Vorteil gegenüber der binären Abspeicherung ist, dass es so viel einfacher ist mit Hilfe von z. B. Perl-Skripten die Daten auszuwerten. Um die Rohdaten in kartesische Koordinaten umzurechnen, wurde ein Perl-Skript (*laserDat2Pointfile.pl*) geschrieben, das als Argument die Datei mit den Rohdaten und eine Datei für die Ausgabe übergeben bekommt. Innerhalb des Skriptes muss die Variable `$DEG_PER_SCAN` an die Gradzahl pro Scan angepasst werden. Das Perl-Skript schreibt `x y z` pro Messpunkt in eine Zeile der Ausgabedatei. Die so entstandenen Dateien können mit *gnuplot*¹⁴ angeschaut werden.

¹⁴Plot Programm für Linux

Kapitel 4

Experimente und Ergebnisse

Der Scanner wurde bereits auf dem Robocup eingesetzt. Bisher konnten an der Mechanik keine Veränderungen und an dem 2D-Laserscanner keine Fehlfunktion, bedingt durch die Belastung bei der Rotation, festgestellt werden. Innerhalb kurzer Zeit sind so Aufnahmen des Raumes möglich bei der Objekte in einer Entfernung von bis zu 4 Metern erkannt werden. Die Auflösung ist durch Variieren der Scananzahl zwischen 40 und 255 beliebig einstellbar. Dabei besteht die Punktwolke aus 27.280 bis 173.910 Messpunkten. Tabelle 4.1 zeigt Parameter verschiedener Scanauflösungen sowie die Aufnahmedauer.

Scananzahl	Auflösung (ϕ) (einstellbar)	Auflösung (θ) (fest)	Anz. Punkte	Zeit
40	4,5°	0,352°	27.280	4 sek
50	3,6°	0,352°	34.100	5 sek
100	1,8°	0,352°	68.200	10 sek
200	0,9°	0,352°	136.400	20 sek
255	0,706°	0,352°	173.910	25,5 sek

Tabelle 4.1: Parameter für verschiedene Scan-Auflösungen

Listing 4.1: autoscan.sh

```
#!/bin/bash
#
scancount=100;
sleep 8; # 8 sec to go away
for ((i=0; i<scancount; i++));
do
./laserrawoutput /dev/ttyUSB0 foyer3/foyer3_raw_${i}.dat;
sleep 1;
done
```

4.1 Versuchsaufbau

Für die Experimente wurde der 3D-Laserscanner auf eine Tischplatte montiert, dies entspricht der *yawing scan top* Methode. Da hier die höchste Dichteverteilung an der im Labor glatten Decke liegt, konnte so die Scanqualität sehr gut beobachtet werden. Für die einzelnen Scans wurde das grafische Benutzerinterface eingesetzt, da dieses eine bessere Betrachtung der 3D-Scans erlaubt. Um selber nicht auf den 3D-Scans zu erscheinen, wurde die Zeit auf etwa 5,5 sek verlängert, die der Servo in der Anfangsposition gehalten wird. Der Strom für das System wurde über den 12V nach 5V Konverter von einem 12V Bleigel Akku bezogen.

Um mehrere automatisierte Scans der Umgebung zu bekommen, wurde ein Bash Skript (Listing 4.1) geschrieben, das das Kommandozeilenprogramm wiederholt aufruft.

4.2 Ergebnisse

Die am Anfang als problematisch empfundene Unkenntnis über den genauen Austrittspunkt des Laserstrahls erwies sich als nicht so tragisch. Es wurde richtigerweise angenommen, dass der Strahl genau in der Mitte des optischen Fensters austritt. Ein Problem ergibt sich aber, wenn der Laserscanner ein wenig verdreht zu seiner Längsachse montiert ist, was auf Ungenauigkeiten an der Halterung zurückzuführen ist. Deutlich wird das besonders an der Decke beim ersten und letzten Scan (Abbildung 4.1).

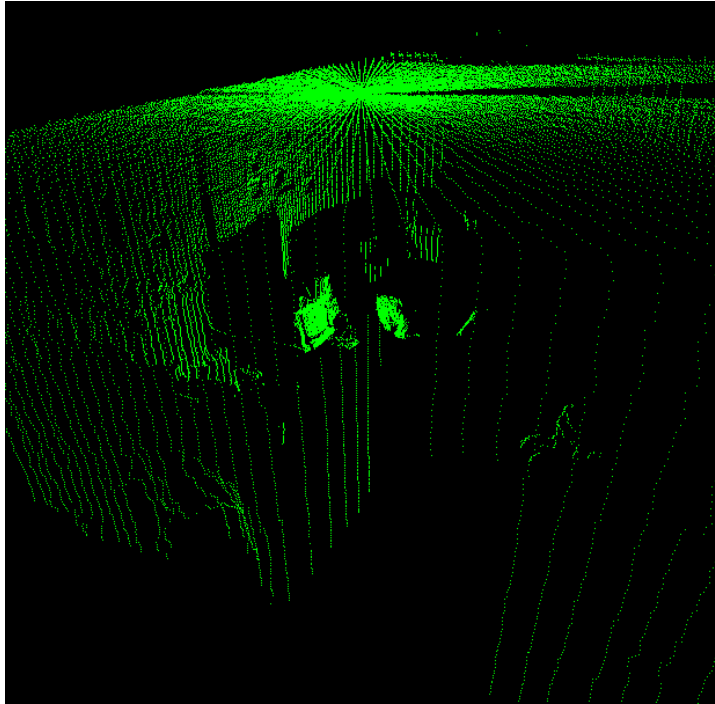


Bild 4.1: fehlerhafte Ausrichtung

Mit dem oben vorgestellten Bash Skript wurden im Foyer des 3. Stockes B-Gebäude 100 Scans hintereinander aufgenommen. Von den 100 Scans wurde zu jedem Messpunkt die durchschnittliche Entfernung berechnet. Der daraus entstandene entrauschte 3D-Scan wurde untersucht und ein Bias im 2D Laserscanner festgestellt (Abbildung 4.2; Vergleich [PDMP06]).

Das Rauschen des Laserscanners lässt sich sehr gut erkennen, wenn die Messpunkte an der Decke in der Blickrichtung der optischen Achse zum Zentrum betrachtet werden. Idealerweise haben die Messpunkte innerhalb eines Ringes untereinander und zur Mitte den gleichen Abstand (Abbildung 4.3).

In dem nachfolgendem Experiment wurde von dem Serverraum Scans in verschiedenen Auflösungen erzeugt. Sie sollten einen Überblick darüber geben, welcher Detailgrad mit verschiedenen Auflösungen erreicht wird (Abbildungen 4.4, 4.5 und 4.6).

Zum Schluss noch eine Aufnahme, die mit am Roboter montiertem Laserscanner entstanden ist (Abbildung 4.7).

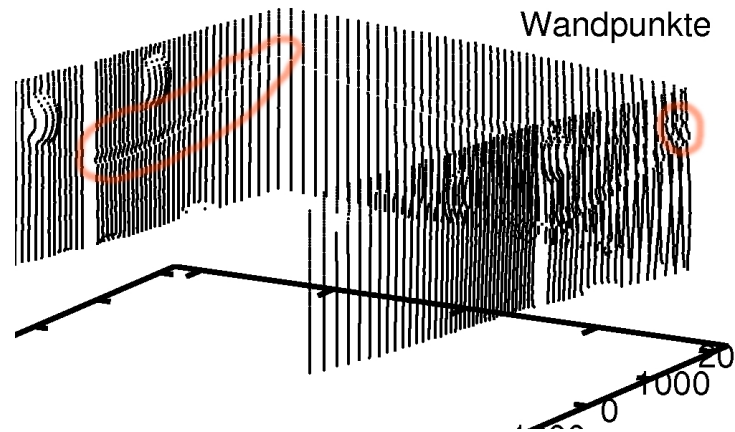


Bild 4.2: Bias Laserscanner, Quelle [PDMP06]

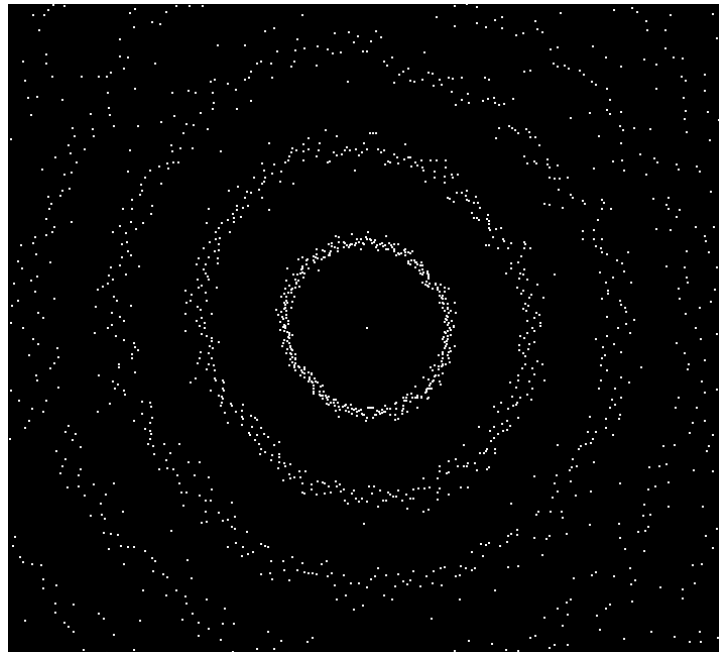


Bild 4.3: radiale Anordnung der Messpunkte

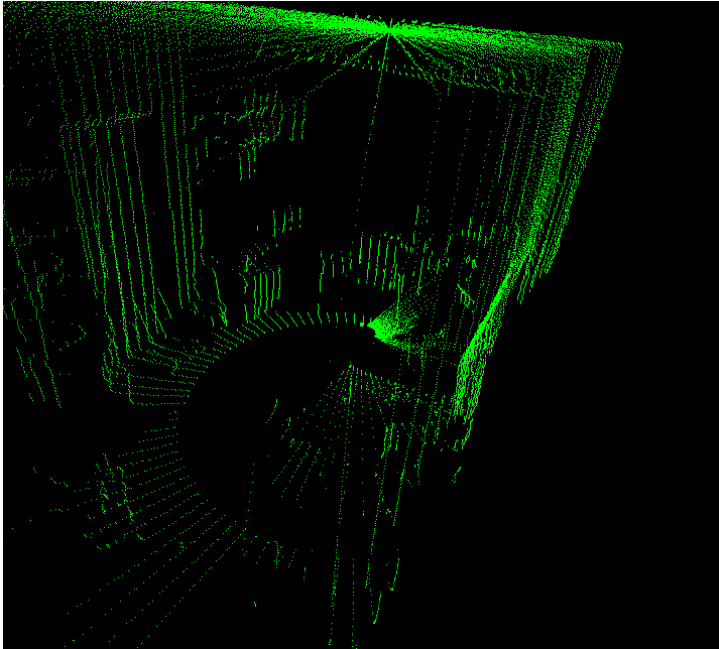


Bild 4.4: Serverraum 34100 Punkte

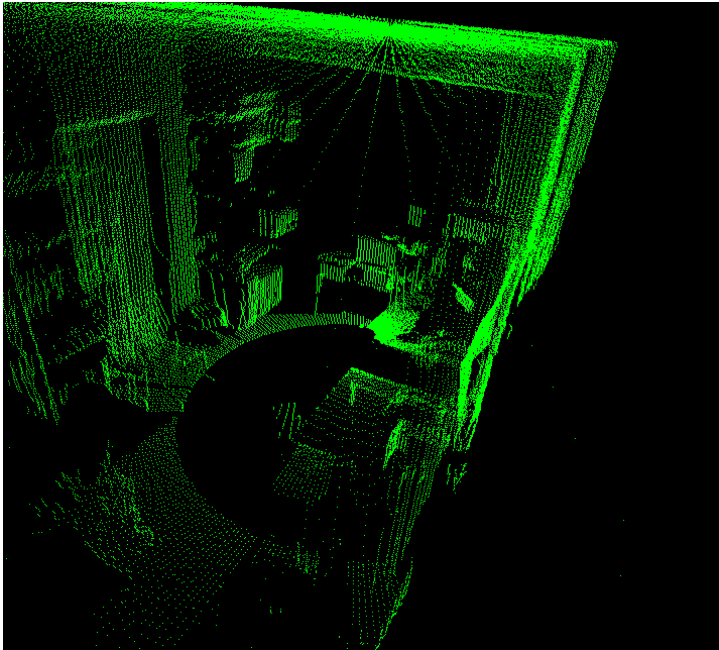


Bild 4.5: Serverraum 102.300 Punkte

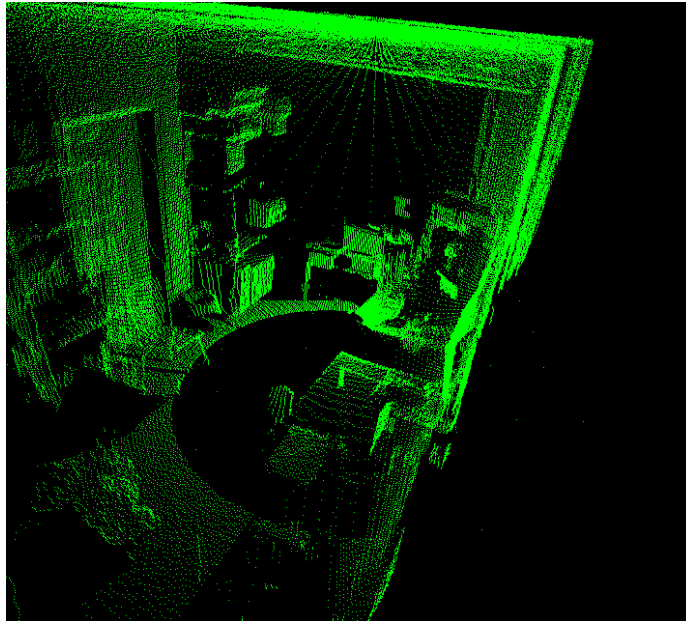


Bild 4.6: Serverraum 173910 Punkte

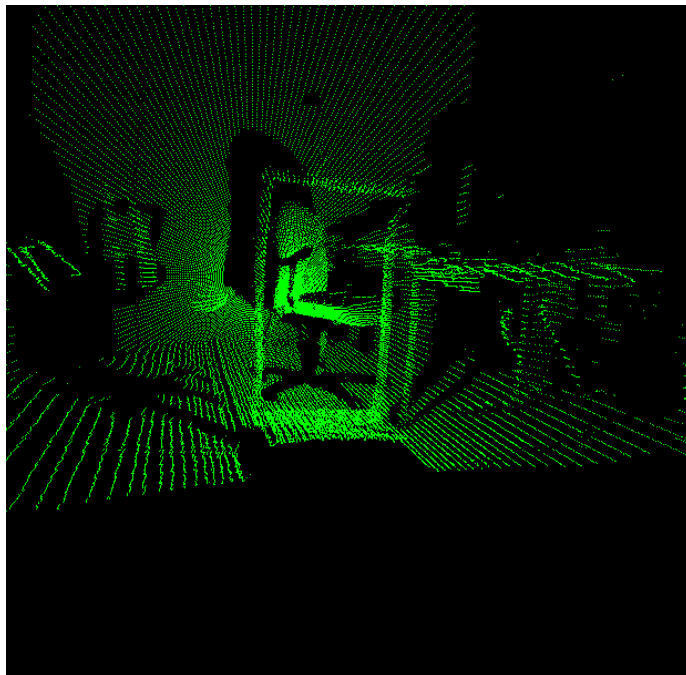


Bild 4.7: Computerlabor Rolling Scan

Kapitel 5

Zusammenfassung

Mit dem hier vorgestellten 3D-Laserscanner auf Basis des Hokuyo URG-LX04 verfügt die Arbeitsgruppe Aktives Sehen der Universität Koblenz über ein Gerät das vielseitig einsetzbar ist. Es ist ein leichter und kompakter 3D-Laserscanner aus Bauteilen für unter 100 Euro entstanden, der trotzdem über eine ausreichende Genauigkeit für die Anwendungen der AGAS verfügt. Der Aufbau wurde so konstruiert, dass das Stereokamerasystem des Roboters nicht beeinträchtigt wird. Die Konstruktion erlaubt es den Laserscanner sowohl vertikal als auch horizontal zu verschieben. Der Laserscanner kann sowohl mit der *Rolling Scan* Methode wie auch mit der *yawing scan* Methode betrieben werden. Im Betrieb der *yawing scan* Methode kann mit einem einzigen Scan die komplette obere Hemisphäre abgedeckt werden. Die Betriebsspannung von 5V ermöglicht den Betrieb auf vielen Mobilien Systemen. Die variable Scanauflösung sorgt dafür, dass von Kollisionsvermeidung bis hin zur Modellerstellung alles möglich ist.

Die gelieferten Daten können als Basis für weitere Arbeiten dienen. Die Arbeit an der Fusion von mehreren Scans zu einem großen ist bereits abgeschlossen. Als nächstes ist das automatische Generieren von Texturen mit Hilfe von Kameras und Mappen auf die 3D Daten geplant. Mit der Arbeit an einer aktiven Ansteuerung wurde bereits begonnen. Im Ausblick steht ebenfalls das Tracking von 3D Punkten in Bildern.

Tabelle 5.1 listet die Technischen Daten des AGAS 3D-Laserscanners nochmal zusammenfassend auf und Abbildung 5.1 zeigt den Roboter mit montiertem Laserscanner.

Gewicht:	ca. 500 gr.
scanbarer Bereich:	240° × 360°
Winkelauflösung:	0.352°
Scangenaugigkeit:	±1%
Auflösung:	27280 bis 173910 Punkte
Scandauer:	4-25,5 s
Reichweite:	4 m

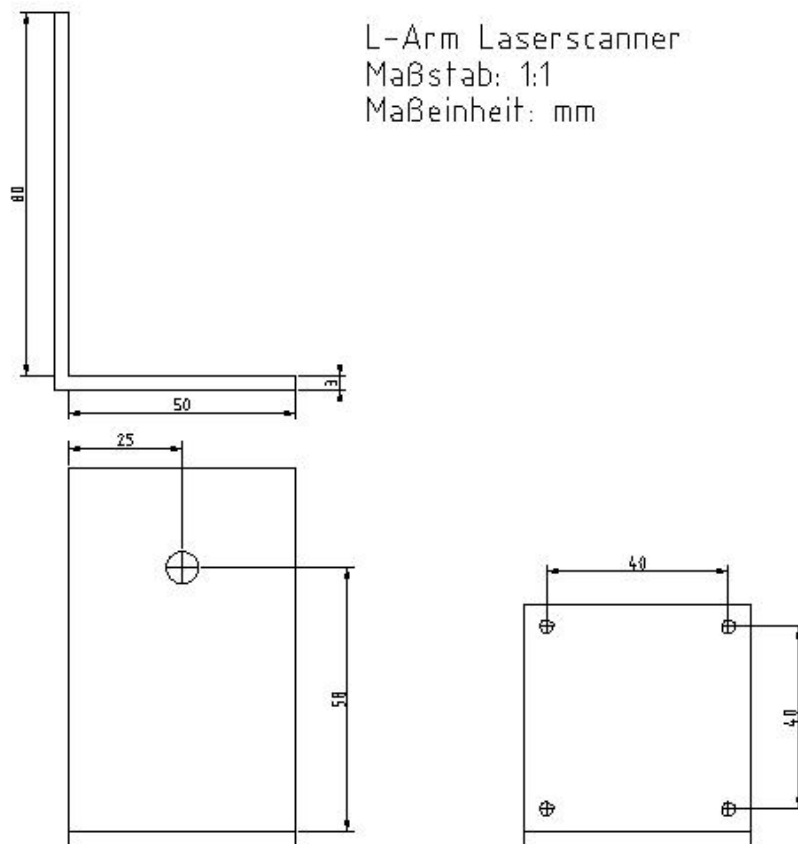
Tabelle 5.1: Technischen Daten des AGAS 3D-Laserscanners



Bild 5.1: Roboter der AGAS

Anhang A

Konstruktionszeichnungen



Anhang B

Aufbau Entwicklungs- und Softwareumgebung

Alle Programme wurden unter Linux und mit Ausnahme der Programme für den Mikrocontroller für Linux entwickelt. Als Compiler wurde *gcc* in der Version 4.1.2 verwendet und als Programmbibliothek zur Gestaltung der Grafischen Oberfläche wurde *QT* in der Version 4.2.3 eingesetzt.

B.1 Erkennung der Geräte

Der Laserscanner wird als USB Modem (CDC ACM) erkannt, das erforderliche Kernelmodul heißt *cdc-acm* bei Kernel 2.6.20 und ist in der Kernelkonfiguration unter `Device Drivers => USB Support => <M> USB Modem (CDC ACM) support` zu finden. Die Gerätedatei heißt `/dev/ttyACM0`. Das Crumb8-USB Modul benötigt das Kernelmodul *cp2101*, welches ab Kernelversion `> 2.16.11` fester Bestandteil ist. Das Modul *ftdi_sio* wird von dem USB Programmierer benötigt. Beide sind in der Konfiguration unter `Device Drivers => USB Support => USB Serial Converter support` zu finden.

B.2 udev-rules

*Udev*¹ ist ein Programm (Systemdienst) das die Verwaltung des */dev* Verzeichnisses unter Linux übernimmt. Wenn neue Geräte angeschlossen werden, erzeugt udev dynamisch sogenannte Geräteknoten in dem */dev* Verzeichnis. Bei Geräten mit einem Seriell/USB Konverter sind das Geräteknoten der Form */dev/ttyUSBx*, wobei x eine fortlaufende Nummerierung der Geräte ist. Die Reihenfolge der Nummerierung ergibt sich aus der Reihenfolge, in der die Geräte erkannt werden. Auf dem Roboter der AGAS werden verschiedene Geräte mit solch einem Konverter eingesetzt. Udev erlaubt das Erstellen von Regeln, die dynamisch einen zweiten Geräteknoten erzeugen, dieser zweite Geräteknoten (Alias) ist ein symbolischer Link auf den richtigen Knoten. Durch das Erzeugen eines Aliases entfällt das lästige Ändern der Konfigurationsdateien und Programmdateien, da der symbolische Link immer gleich heißt und jeweils auf die richtige Gerätedatei zeigt. Die Regeln werden im Verzeichnis */etc/udev/rules.d/* in Dateien abgespeichert. Es wurde eine neue Datei *98-udev-robbie.rules* angelegt. Die erste Regel legt einen Alias */dev/laseruC* an, setzt die Rechte auf *0660* und führt nach dem Einstecken das Programm */usr/bin/SetPortFlags.sh /dev/%k* aus, welches einige Flags richtig setzt. Die zweite Regel ist für das Crumb8-Modul des Thermal Image Sensors. Da im Auslieferungszustand beide Module die gleiche Seriennummer hatten und so eine Unterscheidung per Regel nicht möglich war, wurde mit Hilfe der Anleitung² und Software³ die Seriennummer der Module geändert.

B.3 Programmierung des Mikrokontrollers

Als Programmiereditor wurde Kate (K advanced text editor) benutzt, das Syntaxhighlighting für AVR-Assembler bietet. Die so erstellte *.asm* Datei wurde mit Hilfe von *AVRA*⁴, einem Open Source Assembler für die Atmel Mikrokontrollerfamilie, übersetzt.

```
avra lasercontrol.asm
```

¹Gutes Tutorial unter http://www.reactivated.net/writing_udev_rules.html

²http://www.silabs.com:80/public/documents/tpub_doc/anote/Microcontrollers/Interface/en/an144.pdf

³http://www.silabs.com:80/public/documents/software_doc/othersoftware/Microcontrollers/Interface/en/an144sw.zip

⁴<http://avra.sourceforge.net/>

Listing B.1: 98-udev-robbie.rules

```
##### Laserscanner MicroController Device#####
#
# Add the Alias devname /dev/laserUC and sets the Permissions to "0666"
#
# Setting Port Flags in /usr/bin/SetPortFlags.sh
#
Kernel=="ttyUSB*", ATTRS{product}=="CP2102_USB_to_UART_Bridge_Controller", \
ATTRS{serial}=="0002", SYMLINK+="laserUC", MODE="0666", ACTION=="add", \
RUN+="/usr/bin/SetPortFlags.sh_/dev/%k"
#
#
#
#####ThermalImageSensor MicroController Device#####
#
#
# Add the Alias devname /dev/thermalUC and sets the Permissions to "0666"
#
# Setting Port Flags in /usr/bin/SetPortFlags.sh
#
Kernel=="ttyUSB*", ATTRS{product}=="CP2102_USB_to_UART_Bridge_Controller", \
ATTRS{serial}=="0003", SYMLINK+="thermalUC", MODE="0666", ACTION=="add", \
RUN+="/usr/bin/SetPortFlags.sh_/dev/%k"
#
#
```

Listing B.2: SetPortFlags.sh

```
#!/bin/sh
#
#Author: Christian Delis
#
# Sets the Port Flags
#
DEVICE="$1"
stty --file="$DEVICE" -hupcl -opost -onlcr -iexten -echoe -echok -echoctl -echoke -echo
#
```

Zur Programmierung des *ATMEL* Mikrokontrollers in *AVR-Assembler* wurde das freie Programm *avrdude*⁵ in Version 5.1 verwendet, da erst ab Version 5.0 das von dem Programmieradapter verwendete Protokoll *stk500v2* unterstützt wird. Die von *avra* erzeugte *.hex* (Intel Hex Format) wurde mit dem Programmieradapter und folgendem Befehl auf den Mikrokontroller übertragen. Die Software führt nach dem Programmieren einen Reset aus, so dass das neue Programm automatisch nach dem Schreibvorgang geladen wird.

```
avrdude -c stk500v2 -p m8 -P /dev/usbisp -b 115200 -V -U flash:w:lasercontrol.hex
```

Vor der ersten Benutzung wurden die Fusebits so geändert, dass der externe Quarz mit 14,7456 Mhz anstelle des internen 1 Mhz Quarzes benutzt wird. Folgender Befehl setzt die Fusebits für den externen Taktgeber:

```
avrdude -c stk500v2 -p m8 -P /dev/usbisp -b 115200 -V -U hfuse:w:0xc8:m -U lfuse:w:0xdf:m
```

B.4 Sonstige Software

Desweiteren wurde folgende Software eingesetzt:

Qcad Zur Erstellung der Konstruktionszeichnungen.

Inkscape Erstellung des Zustandsautomaten.

Gimp Konvertierung der Screenshots in das *.eps* Dateiformat.

Eagle Zur Gestaltung des Platinenlayouts.

⁵savannah.nongnu.org/projects/avrdude

Anhang C

Quelltexte

Listing C.1: lasercontrol.asm

```
1 ;;;;;;;;;;;;;;;;;;;;;;;;;;;;;;;;;;;;;;;;;;;;;;;;;;;;;;;;;;;;;;;;;;;;;;;;;;;;;;;;;;;;;;;;;;;;;;;;;;;;;;;;;;;;;;;;;;;;;;;;;;;;;;;;;
2 ;; Author: Christian Delis <cdelis@uni-koblenz.de>
3 ;;
4 ;; AGAS Uni-Koblenz <agas@uni-koblenz.de>
5 ;;
6 ;;
7 ;;;;;;;;;;;;;;;;;;;;;;;;;;;;;;;;;;;;;;;;;;;;;;;;;;;;;;;;;;;;;;;;;;;;;;;;;;;;;;;;;;;;;;;;;;;;;;;;;;;;;;;;;;;;;;;;;;;;;;;;;;;;;;;;;
8 ;;
9 ;; Includes
10 ;;
11 .include "m8def.inc" ; include file for Atmel Atmega8
12 ;;
13 ;;;;;;;;;;;;;;;;;;;;;;;;;;;;;;;;;;;;;;;;;;;;;;;;;;;;;;;;;;;;;;;;;;;;;;;;;;;;;;;;;;;;;;;;;;;;;;;;;;;;;;;;;;;;;;;;;;;;;;;;;;;;;;;;;
14 ;; Definition
15 ;;
16 .def temp = r16 ; temp register
17 .def temp1= r17 ; temp register
18 .def pos= r18 ; hold the current position/scan number
19 .def safe= r19 ; register to save the SREG
20 .def maxPos=r20 ; scanCount, number of scans
21 .def stepL=r21 ; Low Byte of the stepwidth inkrement
22 .def stepH=r22 ; High Byte of the stepwith inkrement
23 .def rdata=r23 ; Dataregister for Receive and Transfer
24 .def durationL=r26 ; Low Byte – Duration of high signal in clocks
25 .def durationH=r27 ; High Byte – Duration of high signal in clocks
26 ;;
27 ;;;;;;;;;;;;;;;;;;;;;;;;;;;;;;;;;;;;;;;;;;;;;;;;;;;;;;;;;;;;;;;;;;;;;;;;;;;;;;;;;;;;;;;;;;;;;;;;;;;;;;;;;;;;;;;;;;;;;;;;;;;;;;;;;
28 ;; Communication Constant
```

```

29 ;;
30 .equ REQUEST_HOLD_2D_POS = 'P'
31 .equ REQUEST_VERSION = 'v'
32 .equ REQUEST_3D_SCAN_CTRL = 'S'
33 .equ REQUEST_STOP_2D = 'R'
34 ;;
35 ;;;;;;;;;;;;;;;;;;;;;;;;;;;;;;;;;;;;;;;;;;;;;;;;;;;;;;;;;;;;;;;;;;;;;;;;;;;;;;;;;;;;;;;;;;;;;;;;;;;;;;;;;;;;;;;;;;
36 ;; Constant
37 ;;
38 .equ FCPU = 14745600           ; CPU frequenz in Hz
39 .equ BAUD = 115200           ; Baudrate for uart
40 .equ RAMSTART=0x0060 ;      ; Adress of ramstart
41 .equ UBRRVAL = FCPU/(BAUD*16)-1 ; calculate UBRRVAL
42 ;;
43 ;;;;;;;;;;;;;;;;;;;;;;;;;;;;;;;;;;;;;;;;;;;;;;;;;;;;;;;;;;;;;;;;;;;;;;;;;;;;;;;;;;;;;;;;;;;;;;;;;;;;;;;;;;;;;;;;;;
44 ;; Versionsinfo String
45 ;;
46 version:                      ; String should be an odd number of char
47     .db "Lasercontrol_Program:_Version_1.0",0
48
49 ;;
50 ;;;;;;;;;;;;;;;;;;;;;;;;;;;;;;;;;;;;;;;;;;;;;;;;;;;;;;;;;;;;;;;;;;;;;;;;;;;;;;;;;;;;;;;;;;;;;;;;;;;;;;;;;;;;;;;;;;
51 ;; Macros
52 ;;
53 .macro   mdelay                ; delay macro
54     ldi   r24, low( @0 - 8 )    ; max 65536 clocks => max 4.44 ms @14.7456 MHZ
55     ldi   r25, high( @0 - 8 )  ; @0 first parameter
56     sbiw  r24, 4
57     brcr pc - 1
58     cpi  r24, 0xFD
59     bres pc + 4
60     breq pc + 3
61     cpi  r24, 0xFF
62     breq pc + 1
63 .endmacro
64
65 .macro   msdelay                ; delay for @0 msec
66     mdelay ((FCPU * @0) / 1000)
67 .endmacro
68 ;;
69 ;;;;;;;;;;;;;;;;;;;;;;;;;;;;;;;;;;;;;;;;;;;;;;;;;;;;;;;;;;;;;;;;;;;;;;;;;;;;;;;;;;;;;;;;;;;;;;;;;;;;;;;;;;;;;;;;;;
70 ;; interrupt vector
71 .org 0x000                      ; start execution after reset
72     rjmp RESET
73 .org INT0addr                    ; interrupt adress for external interrupt 0
74     rjmp int0_handler
75 .org URXCaddr                    ; Interrupt adress for UART RECEIVE
76     rjmp int_rxc

```

```

77 ;;;;;;;;;;;;;;;;;;;;;;;;;;;;;;;;;;;;;;;;;;;;;;;;;;;;;;;;;;;;;;;;;;;;;;;;;;;;;;;;;
78 RESET:                                     ; main routine
79
80     ldi temp, LOW(RAMEND)                 ; initialize Stackpointer
81     out SPL, temp
82     ldi temp, HIGH(RAMEND)
83     out SPH, temp
84
85                                     ; initialize UART Interface
86     ldi temp, LOW(UBRRVAL)                 ; set baudrate
87     out UBRRL, temp
88     ldi temp, HIGH(UBRRVAL)
89     out UBRRH, temp
90
91
92     ldi temp, (1<<URSEL)|(3<<UCSZ0) ; set Frame-Format: 8 Bit, 1 Stop bit
93     out UCSRC, temp
94
95     sbi UCSRB, TXEN                       ; enable UART transfer - TX
96     sbi UCSRB, RXEN                       ; enable UART receive - RX
97
98                                     ; Pin PD5 generates PWM
99     ldi temp, (1<< PD5)                   ; set data direction to output
100    out DDRD, temp
101
102
103
104 mainloop:
105     rcall uart_receive                     ; receive control char
106 check_rx:                                ; send control char back
107     sbis UCSRA, UDRE
108     rjmp check_rx
109     out UDR, rdata
110
111     cpi rdata, REQUEST_3D_SCAN_CTRL ; if REQUEST_3D_SCAN_CTRL initiate new Scan
112     breq newscan
113     cpi rdata, REQUEST_HOLD_2D_POS  ; if REQUEST_HOLD_2D_POS hold at 2DPos
114     breq pos2D
115     cpi rdata, REQUEST_VERSION      ; if REQUEST_VERSION send Version Info
116     breq sndversion
117     jmp mainloop                      ; end mainloop
118
119 ;;;;;;;;;;;;;;;;;;;;;;;;;;;;;;;;;;;;;;;;;;;;;;;;;;;;;;;;;;;;;;;;;;;;;;;;;;;;;;;;;
120
121 ; This routine executes the 3D Scan Control
122 newscan:
123
124     ldi YH, HIGH(RAMSTART)                 ; initialize rampointer

```

```

125     ldi YL,LOW(RAMSTART)
126
127     rcall uart_receive
128     mov durationL, rdata      ; store start pos, duration of highsignal, low Byte
129     rcall uart_receive
130     mov durationH, rdata     ; store start pos, duration of highsignal, high Byte
131     rcall uart_receive
132     mov stepL, rdata        ; store stepwidth, low byte
133     rcall uart_receive
134     mov stepH, rdata       ; store stepwidth, high byte
135     rcall uart_receive
136     mov maxPos, rdata      ; store scanCount, number of scans
137
138 maxpos_tx:
139     sbis UCSRA,UDRE        ; send maxPos back, for control
140     rjmp maxpos_tx
141     out UDR, maxPos
142
143     ldi temp, 0
144 bresen:
145
146     rcall uart_receive
147     st Y+, rdata          ; store correction at Rampos Y and inc rampointer
148
149 transmit:
150     sbis UCSRA,UDRE        ; send correction back
151     rjmp transmit
152     out UDR, rdata
153
154     inc temp
155     cp temp, maxPos       ; repeat until not maxPos stepcorrections received
156     brlo bresen
157
158 count_tx:
159     sbis UCSRA,UDRE
160     rjmp count_tx
161     out UDR, temp        ; send stepcorrection back
162
163
164     ldi YH,HIGH(RAMSTART)  ; set Y-Pointer back to start for reading
165     ldi YL,LOW(RAMSTART)
166
167     rcall resetservo      ; move Servo to start Position
168
169     ldi pos, 0           ; set initialvalue
170
171
172 sync_tx:                ; sync with pc, this stops the pc program

```

```

173     sbis UCSRA,UDRE           ; if not, the pc requests a 2D-scan from scanner
174     rjmp sync_tx             ; before the servo is at the start Position
175     out UDR, temp
176
177
178     ldi temp, 0b00000010      ; configure external interrupt 0 (INT0)
179     out MCUCR, temp           ; interrupt when falling edge
180
181     ldi temp, 0b01000000      ; activate INTO
182     out GIMSK, temp
183
184
185 loop:
186     cli                       ; deactivate global interrupt!
187     ;no interrupt here, period of high signal has to be complied
188     ldi temp, 0b00100000
189     out PORTD, temp           ; set PD5 High
190     rcall delay_sig_high_start ; wait duration
191     cbi PORTD, PD5           ; set PD5 to Low
192     sei                       ; activate interrupt!
193     rcall delayms20           ; PD5 for 20ms low
194     cp pos, maxPos           ; reached maxPos?
195     brne loop
196     cli                       ; deactivate interrupts
197
198
199 transmit_durH:
200     sbis UCSRA,UDRE           ; send reached duration back to pc
201     rjmp transmit_durH       ; for control
202     out UDR, durationH
203 transmit_durL:
204     sbis UCSRA,UDRE
205     rjmp transmit_durL
206     out UDR, durationL
207
208     ;ldi rdata, 0             ; overwrite rdata !!!!!!!!!!!!!!!!!!!!!!!
209     ldi maxPos, 0             ; clean up
210     jmp mainloop               ; scan finished, jump back
211 ;::::::::::::::::::::::::::::::::::::::::::::::::::::::::::::::::::::::::::::::::::
212 ;; This routine moves the servo to the start position
213 ;;
214 reset servo:
215     ldi temp1, 0
216 reset_:
217     ldi temp, 0b00100000
218     out PORTD, temp           ; set PD5 High
219     rcall delay_sig_high_start ; wait
220     cbi PORTD, PD5           ; set PD5 Low

```

```

221         rcall delaysms20           ; 20 ms warten
222         inc temp1
223         cpi temp1, 25             ; 300ms for 180° => 25 runs to move to start Pos
224         brne reset_
225         ret
226 ;;
227 ;;;;;;;;;;;;;;;;;;;;;;;;;;;;;;;;;;;;;;;;;;;;;;;;;;;;;;;;;;;;;;;;;;;;;;;;;;;;;;;;;;
228 ;; Delaying for start Position
229 ;;
230 delay_sig_high_start:
231         mov  r24, durationL
232         mov  r25, durationH
233         sbiw r24, 4
234         brcc pc - 1
235         cpi  r24, 0xFD
236         brcs pc + 4
237         breq pc + 3
238         cpi  r24, 0xFF
239         breq pc + 1
240         ret
241 ;;
242 ;;;;;;;;;;;;;;;;;;;;;;;;;;;;;;;;;;;;;;;;;;;;;;;;;;;;;;;;;;;;;;;;;;;;;;;;;;;;;;;;;;
243 ;; Delay 20 ms
244 ;;
245 delaysms20:           ; 5*4 = 20 :-)
246         msdelay 4
247         msdelay 4
248         msdelay 4
249         msdelay 4
250         msdelay 4
251         ret
252 ;;
253 ;;;;;;;;;;;;;;;;;;;;;;;;;;;;;;;;;;;;;;;;;;;;;;;;;;;;;;;;;;;;;;;;;;;;;;;;;;;;;;;;;;
254 ;; This routine sends the position pos via uart
255 uart_transmit:
256         sbis UCSRA,UDRE
257         rjmp uart_transmit
258         out  UDR, pos
259         ret
260 ;;
261 ;;;;;;;;;;;;;;;;;;;;;;;;;;;;;;;;;;;;;;;;;;;;;;;;;;;;;;;;;;;;;;;;;;;;;;;;;;;;;;;;;;
262 ;; This is the external interrupt 0 handler, it adds the stepwidth to the duration
263 ;;
264 int0_handler:           ; interrupt service routine
265         in  safe, SREG           ; save SREG to stack
266         push safe                ;
267         rcall uart_transmit      ; send pos
268         ld  temp, Y+             ; load stepcorrection (bresenham) to temp

```

```

269     sbrc temp, 0           ; if not 0 add 1 to duration
270     adiw durationL, 1     ;
271     add durationL, stepL  ; increase duration => 147,456 is 0.01 ms
272     adc durationH, stepH  ;
273     inc pos              ; increment pos
274     pop safe             ; restore SREG from stack
275     out SREG, safe
276     reti
277 ;;
278 ;;;;;;;;;;;;;;;;;;;;;;;;;;;;;;;;;;;;;;;;;;;;;;;;;;;;;;;;;;;;;;;;;;;;;;;;;;
279 ;; This routine receives one byte and stores it in register rdata
280 ;;
281 uart_receive:
282     sbis UCSRA, RXC       ; wait until one byte was received
283     rjmp uart_receive
284     in rdata, UDR
285     ret
286 ;;
287 ;;;;;;;;;;;;;;;;;;;;;;;;;;;;;;;;;;;;;;;;;;;;;;;;;;;;;;;;;;;;;;;;;;;;;;;;;;
288 ;; This routine holds the Servo(Scanner) at the 2D scan Position
289 ;;
290 pos2D:
291     rcall uart_receive    ; receive the 2D Scan Position in clocks
292     mov durationL, rdata  ;
293     rcall uart_receive
294     mov durationH, rdata
295     check_rx1:
296     sbis UCSRA, UDRE     ; send back high byte of 2d scan pos in clocks
297     rjmp check_rx1
298     out UDR, rdata
299     sbi UCSRB, RXCIE     ; enable receive interrupt
300 nextsig:                 ; generate pwm
301     cli
302     ldi temp, 0b00100000 ;
303     out PORTD, temp      ; set PD5 High
304     rcall delay_sig_high_start ; wait duration of high
305     cbi PORTD, PD5      ; set PD5 Low
306     sei
307     rcall delayms20     ; wait 20 ms
308     cpi temp1, REQUEST_STOP_2D ; check if interrupt has occurred
309     brne nextsig
310     mov rdata, temp1    ; send control char back
311 check_rx2:
312     sbis UCSRA, UDRE     ;
313     rjmp check_rx2
314     out UDR, rdata
315     jmp mainloop
316 ;;

```

```

317 ;;;;;;;;;;;;;;;;;;;;;;;;;;;;;;;;;;;;;;;;;;;;;;;;;;;;;;;;;;;;;;;;;;;;;;;;;;;;;;;;;
318 ;; This routine is the receive byte interrupt routine ,
319 ;; it is used to cancel the holding of 2D Pos
320 ;;
321 int_rxc:
322     in rdata , UDR
323     mov templ, rdata           ; copy char to templ, so we can check
324     cbi UCSRB, RXCIE         ; disable receive interrupt
325     reti
326 ;;
327 ;;;;;;;;;;;;;;;;;;;;;;;;;;;;;;;;;;;;;;;;;;;;;;;;;;;;;;;;;;;;;;;;;;;;;;;;;;;;;;;;;
328 ;; This routine sends the Programm Version
329 ;;
330 sndversion:
331     ldi ZL, LOW(version*2)    ; load StringAddress to Z Pointer
332     ldi ZH, HIGH(version*2)  ;
333 print:
334     lpm rdata, Z+            ; load byte, addressed by Z, to rdata
335     tst rdata                ; test if 0 => String end
336     breq print_end          ; if 0, end of output
337     mov r16, r0              ; Inhalt von R0 nach R16 kopieren
338     rcall sendchar           ; UART-Sendefunktion aufrufen
339     adiw ZL, 1                ; Adresse des Z-Pointers um 1 erhöhen
340     rjmp print                ; wieder zum Anfang springen
341 print_end:
342     ret
343
344     ldi rdata, 10             ; 10 == LF
345     rcall sendchar           ; 13 == CR
346     ldi rdata, 13
347     rcall sendchar           ; send line break
348
349 sendchar:
350     sbis UCSRA, UDRE         ; send character
351     rjmp sendchar
352     out UDR, rdata
353     jmp mainloop

```

Listing C.2: datareader.cpp

```

1 /*****
2 *   Filename:  datareader.cpp
3 *
4 *   Author:   Christian Delis <cdelis@uni-koblenz.de>
5 *
6 *   (C) 2006 AG Aktives Sehen <agas@uni-koblenz.de>
7 *   Universitaet Koblenz-Landau
8 *****/

```

```

9
10
11 #include "datareader.h"
12 #include <iostream>
13 #include <QString>
14 #include <cmath>
15 #include <QFile>
16 #include <QTextStream>
17 #include <cmath>
18
19 #include "config.h"
20
21 //bitrate for laserscanner, it is fixed, so don't change it!
22 #define LASER_DEVICE_BITRATE B19200
23 //bitrate for Microcontroller, it is in the uC programmed so don't change it!
24 #define MICROCONTROLLER_BITRATE B115200
25 //use a min cloud size, so we haven't to resize the vector so often
26 #define MIN_CLOUD_SIZE 50000
27 #define ANGLE_RESOLUTION 360.0 / 1024.0
28 #define DEGREE_TO_RADIAN M_PI / 180.0
29 #define PHICORRECT 0
30 //liefert Bit 8 bis 15
31 #define HIGHBYTE(x) ((x & 0xFF00) >>8)
32 //liefert bit 0 bis 7
33 #define LOWBYTE(x) ((x) & 0xFF)
34 #define REQUEST_HOLD_2D_POS 'P'
35 #define REQUEST_VERSION 'v'
36 #define REQUEST_3D_SCAN_CTRL 'S'
37 #define REQUEST_STOP_2D 'R'
38
39
40
41 DataReader::DataReader()
42 {
43     m_uCDevice = "/dev/laseruC";
44     m_scanDevice = "/dev/ttyACM0";
45     m_readingMutex = false;
46     m_scannerFD = NULL;
47     m_uCFD = NULL;
48     m_devicesConnected = false;
49     m_longRangeMode = false;
50 }
51
52 Laserscan3D* DataReader::getLaserScanObject() {
53     if(m_myScan) { return m_myScan; }
54     return NULL;
55 }
56

```

```

57
58 DataReader::~DataReader()
59 {
60     if(m_myScan){ delete m_myScan;}
61 }
62
63 bool DataReader::isDataReading(){ return m_readingMutex;}
64
65 void DataReader::holdPos(int holdpos){
66     if(!m_devicesConnected){
67         connectDevices();
68     }
69
70     if(!m_devicesConnected){
71         std::cout << "ERROR:_Connection_to_devices_fail!_Did_you_connect_them?" << std::
72             endl;
73         m_readingMutex=false;
74         return;
75     }
76     int uCControl=REQUEST_HOLD_2D_POS;
77
78     if(!fputc(uCControl,m_uCFD)){
79         std::cout << "ERROR:_Could_not_write_uCControl_to_uC!" << std::endl;
80     }
81     if( holdpos < DEFAULTSTART_POS || holdpos > DEFAULTEND_POS){
82
83         std::cout << "ERROR:_holdpos_is_out_of_range!" << std::endl;
84         return;
85     }
86
87     std::cout << "_uCControl_byte_send" << fgetc(m_uCFD)<< "_to_uC!" << std::endl;
88     int holdposL=LOWBYTE(holdpos);
89     int holdposH=HIGHBYTE(holdpos);
90
91     if(!fputc(holdposL,m_uCFD)){
92         std::cout << "ERROR:_Could_not_write_holdposL_to_uC!" << std::endl;
93     }
94
95     if(!fputc(holdposH,m_uCFD)){
96         std::cout << "ERROR:_Could_not_write_holdposH_to_uC!" << std::endl;
97     }
98     std::cout << "_Am_I_in_gopos_subroutine?_" << fgetc(m_uCFD)*256<< "_\n" << std::endl;
99     m_holdPos=true;
100 }
101
102 void DataReader::stopHoldPos(){
103

```

```

104  int uCControl=REQUEST_STOP_2D;
105  if (! fputc(uCControl,m_uCFD)){
106      std::cout << "ERROR:_Could_not_write_stopHoldPos_to_uC!" << std::endl;
107  }
108  std::cout << "_stopHold,_return_from_gopos" << fgetc(m_uCFD)<<"_to_uC!" << std::endl;
109  m_holdPos=false;
110  }
111
112  void DataReader::getScanFromLaser(int scancount, int startPos, int endPos, int* numPoints
    , float** xCoords, float** yCoords, float** zCoords){
113
114      if(scancount< MIN_SCANCOUNT || scancount > MAX_SCANCOUNT){return;}
115      if(startPos < MINSTART_POS || endPos > MAXSTART_POS){return;}
116      // first stop holdpos?
117      if(m_holdPos){stopHoldPos();}
118
119      int scanCount=LOWBYTE(scancount);
120      int stepwidth= (int) ((endPos - startPos)/scanCount);
121      int durationL=LOWBYTE(startPos);
122      int durationH=HIGHBYTE(startPos);
123      int stepL=LOWBYTE(stepwidth);
124      int stepH=HIGHBYTE(stepwidth);
125      int uCControl=REQUEST_3D_SCAN_CTRL;
126      int * stepCorrection;
127
128      std::cout << "scanCount:_ " << scanCount << std::endl;
129      std::cout << "stepwidth:_ " << stepwidth << std::endl;
130      std::cout << "duration:_ " << ((durationH*256)+ durationL) << std::endl;
131      std::cout << "Step:_ " << ((stepH * 256) + stepL) << std::endl;
132
133      int pos;
134      int * scan;
135      //double res= 180.0 / scanCount;
136      int scanSteps = 682;
137      //double correction=2.0;
138      int* wholeScan = new int[scanCount * scanSteps];
139      //are we already reading?
140      if(m_readingMutex){
141          return;
142      }
143      // lock reading
144      m_readingMutex = true;
145
146      if(! m_devicesConnected){
147
148          connectDevices();
149      }
150

```

```

151     if (!m_devicesConnected){
152         std::cout << "ERROR: _Connection_to_devices_fail!_Did_you_connect_them?" << std::endl
            ;
153         m_readingMutex=false;
154         return;
155     }
156
157     if (!fputc(uCControl,m_uCFD)){
158         std::cout << "ERROR: _Could_not_write_uCControl_to_uC!" << std::endl;
159     }
160
161     std::cout << "_uCControl_byte_send" << fgetc(m_uCFD)<<"_to_uC!" << std::endl;
162
163     if (!fputc(durationL,m_uCFD)){
164         std::cout << "ERROR: _Could_not_write_durationL_to_uC!" << std::endl;
165     }
166     if (!fputc(durationH,m_uCFD)){
167         std::cout << "ERROR: _Could_not_write_durationH_to_uC!" << std::endl;
168     }
169     if (!fputc(stepL,m_uCFD)){
170         std::cout << "ERROR: _Could_not_write_stepL_to_uC!" << std::endl;
171     }
172     if ((fputc(stepH,m_uCFD))== EOF){
173         std::cout << "ERROR: _Could_not_write_stepH_to_uC!" << std::endl;
174     }
175
176     if (!fputc(scanCount,m_uCFD)){
177         std::cout << "ERROR: _Could_not_write_scanCount_to_uC!" << std::endl;
178     }
179     std::cout << "_Successful_transmit_scanCount_" << fgetc(m_uCFD)<<"_to_uC!" << std::
        endl;
180
181     bresen(scanCount,startPos, endPos, stepCorrection);
182     // for(int i=0; i < scanCount; i++){
183     //     std::cout << "stepCorrection["<< i <<"] " << stepCorrection[i] << std::endl;
184     // }
185     for(int i=0; i < scanCount; i++){
186         if(fputc(stepCorrection[i],m_uCFD)== EOF){
187             std::cout << "ERROR: _Could_not_write_stepCorrection["<< i <<"]_" << stepCorrection[
                i]<<"_to_uC!" << std::endl;
188         } else{
189
190             std::cout << "Write:_stepCorrection["<< i <<"]_" << stepCorrection[i]<<"_Received:_"
                << fgetc(m_uCFD)<< std::endl;
191         }
192         //usleep(500);
193         //
194

```

```

195 }
196 //std::cout << "after stepcorrection transmission" << std::endl;
197 //std::cout <<fputc(scanCount,m_uCFD)<< std::endl;
198 std::cout << "_number_of_stepCorrection_successfully_transmitted_" << fgetc(m_uCFD)<<"_
    to_uC!" << std::endl;
199 //std::cout << std::endl;
200 //std::cout << "scanCount: " << scanCount << "\n" << std::endl;
201 //std::cout << std::endl;
202 // Obtain data for readybyte scan, this should be one complete 3d scan
203
204 fgetc(m_uCFD); //no other purpose, just for sync
205 for(int i=0;i<scanCount;++i)
206 {
207     std::cout << "Trying_scan_#" << i << std::endl;
208
209     // Obtain all step (0-768) distance data
210     scan=urgGetScan(0,768,1);
211     if(scan==NULL){
212
213         std::cout << "ERROR:_Could_not_get_2D_Scan!" << i << std::endl;
214         m_readingMutex=false;
215         return;
216     }
217     //get Position from uC
218     pos=fgetc(m_uCFD);
219     if(pos == EOF){
220         std::cout << "ERROR:_Could_not_get_Position_from_uC!" << i << std::endl;
221         m_readingMutex=false;
222         return;
223
224     }
225
226     if(scan!=NULL)
227     {
228
229
230         for(int pt=44;pt<726;pt++)
231         {
232             wholeScan[i*scanSteps + pt - 44 ] = scan[pt];
233         }
234         free(scan);
235     }
236     else
237     {
238         std::cout << "scan_#" << i << "_failed" << std::endl;
239     }
240 }
241

```

```

242     std::cout << "Endpos:_" << ((fgetc(m_uCFD)*256) + fgetc(m_uCFD)) << std::endl;
243
244     //float t_0 = 120.0 / 180.0 * M_PI; //false
245     float t_0 = (135 - (44*ANGLE_RESOLUTION)) / 180.0 * M_PI;
246     //float TR = -240 / 180.0 * M_PI; //false
247     float TR = -(682*ANGLE_RESOLUTION) / 180.0 * M_PI;
248     float p_0 = - M_PI / 2.0;
249     float PR = M_PI;
250
251     m_myScan = new Laserscan3D(t_0,TR, scanSteps , p_0,PR, scanCount , wholeScan);
252     m_myScan->get3DPoints( numPoints , xCoords ,yCoords , zCoords);
253     //unlock reading
254     m_readingMutex = false;
255 }
256
257
258 void DataReader::connectDevices(){
259
260     //set up scanner
261     m_scannerFD =fopen(m_scanDevice , "w+b");
262     if (m_scannerFD==NULL){
263         std::cout << std::endl;
264         std::cout << "ERROR: Could not open ScanDevice! Is Scanner connected and is
                Kernelmodul \"cdc_acm\" loaded?" << std::endl;
265         std::cout << std::endl;
266         return;
267     }
268
269     if (!setupSerial( fileno(m_scannerFD) ,LASER_DEVICE_BITRATE)){
270
271         std::cout << "ERROR: Setting up Serialattributes to_"<< m_scanDevice<<"failed!" <<
                std::endl;
272         fclose(m_scannerFD);
273     }
274
275
276     // set up Microcontroller
277     m_uCFD =fopen(m_uCDevice , "w+b");
278     if (m_uCFD==NULL){
279
280         std::cout << std::endl;
281         std::cout << "ERROR: Could not open uC Device! Is MicroController connected and is
                Kernelmodul \"cp2101\" loaded?" << std::endl;
282         std::cout << std::endl;
283         return;
284     }
285
286     if (!setupSerial( fileno(m_uCFD) , MICROCONTROLLER_BITRATE)){

```

```

287
288     std::cout << "ERROR: Setting up Serial attributes to " << m_uCDevice << " fail!" << std
        :: endl;
289     fclose(m_scannerFD);
290     fclose(m_uCFD);
291 }
292 m_devicesConnected=true;
293
294 }
295
296 void DataReader::switchScanRange(){
297
298     char req[16];
299     char line[80];
300     int i;
301     int controlcode=0;
302     //controlcode = 1 for longrange Mode otherwise controlcode =0 for non Longrange mode
303     if(m_longRangeMode){
304         controlcode =1;
305     }
306
307     sprintf(req, "E%01d\n", controlcode);
308     i=fwrite(req, sizeof(char), strlen(req), m_scannerFD);
309     if(i==0){
310         printf("ERROR: Switching over 4096 Mode has failed !\n");
311         printf(" fwrite return zero !\n");
312         return;
313     }
314
315     if(fgets(line, sizeof(line), m_scannerFD)==NULL){
316         printf("ERROR: Could not read from scanner !\n");
317         return;
318     }
319     //test if echo back is ok
320     if(strcmp(req, line)!=0)
321     {
322         printf("ERROR: Echo back is invalid !\n");
323         // invalid
324         return;
325     }
326
327     //read next line
328     if(fgets(line, sizeof(line), m_scannerFD)==NULL){
329         printf("ERROR: Could not read from scanner !\n");
330         return;
331     }
332     //test if status is ok => 0 if it was successful
333     if(strcmp("0\n", line)!=0)

```

```

334     {
335         printf("ERROR: Switching to over_4096_Mode has failed!\n");
336         printf("ERROR: Changing_Mode has failed");
337         //invalid
338         return;
339     }
340     //read next line
341     if (fgets(line, sizeof(line), m_scannerFD) == NULL) {
342         printf("ERROR: No_LF at End of Echo_back!\n");
343         return;
344     }
345
346     printf("CHANGING_MODE_WAS_SUCCESSFUL\n");
347     m_longRangeMode = true;
348     return;
349 }
350
351
352
353 int* DataReader::urgGetScan( int aStart, int aEnd, int aSkip)
354 {
355     //function taken from the example program of the hoyuko homepage
356     char req[16];
357     int *scan, *pt;
358     char line[80];
359     int i;
360
361     sprintf(req, "G%03d%03d%02d\n", aStart, aEnd, aSkip);
362     i = fwrite(req, sizeof(char), strlen(req), m_scannerFD);
363     if (i == 0)
364         return NULL;
365     // echo-back
366     if (fgets(line, sizeof(line), m_scannerFD) == NULL)
367         return NULL;
368     if (strcmp(req, line) != 0)
369     {
370         // invalid
371         return NULL;
372     }
373
374     // status
375     if (fgets(line, sizeof(line), m_scannerFD) == NULL)
376         return NULL;
377     if (strcmp("0\n", line) != 0)
378     {
379         // invalid
380         return NULL;
381     }

```

```

382 // result
383 scan=(int*)malloc(sizeof(int)*((aEnd-aStart)/aSkip+1));
384 pt=scan;
385 while(1)
386 {
387     if(fgets(line,sizeof(line),m_scannerFD)==NULL)
388     {
389         free(scan);
390         return NULL;
391     }
392     if(!strcmp("\n",line))
393     {
394         //end of result
395         break;
396     }
397     for( unsigned int i=0;i<strlen(line)-1;++i,++pt)
398     {
399         // Note: It is assumed that received data is complete
400         //      (Problem will occur if data is incomplete)
401         *pt=((line[i] - 0x30)<<6) + line[++i] - 0x30;
402     }
403 }
404 return scan;
405 }
406
407 bool DataReader::setupSerial(int aFd, speed_t speed){
408
409     struct termios tio;
410     if(speed==0){
411
412         std::cout << "ERROR:_Invalid_Bitrate ,_set_B115200_for_uC_or_B19200_for_Laserscanner
413         !\n" << std::endl;
414         return false; // invalid bitrate
415     }
416     //save old termios
417     tcgetattr(aFd,&m_Oldtio);
418
419     tcgetattr(aFd,&tio);
420
421     cfsetispeed(&tio,speed); // bitrate for input
422     cfsetospeed(&tio,speed); // bitrate for output
423
424     tio.c_cflag=(tio.c_cflag & ~CSIZE) | CS8; // data bits = 8bit
425
426     tio.c_iflag&= ~( BRKINT | ICRNL | ISTRIP );
427     tio.c_iflag&= ~ IXON; // no XON/XOFF
428     tio.c_cflag&= ~PARENB; // no parity
429     tio.c_cflag&= ~CRTSCTS; // no CTS/RTS

```

```

429   tio.c_cflag&= ~CSTOPB;    // stop bit = 1 bit
430
431   //OUTPUT
432   tio.c_oflag &= ~OPOST;
433
434   // Other
435   tio.c_lflag &= ~( ISIG | ICANON | ECHO );
436
437   // Commit
438   if ( tcsetattr( aFd, TCSADRAIN, & tio ) == 0 ) { return true;    }
439   //fclose( aFd );
440   return false;
441
442 }
443
444
445 void DataReader::getScanFromFile( QString filename , int* numPoints , float **xCoords , float
    ** yCoords , float** zCoords ){
446
447   //valid filename
448   if( filename.isEmpty() ){
449     std::cout << "ERROR: _Given_ _Filename_ _is_ _invalid!" << std::endl;
450     return;
451   }
452   m_myScan=new Laserscan3D( filename.toAscii() );
453   m_myScan->get3DPoints( numPoints , xCoords , yCoords , zCoords );
454 }
455
456
457 void DataReader::saveScanToFile( QString filename , int* numPoints , float** xCoords ,
    float** yCoords , float** zCoords ){
458   QFile file( filename );
459   if ( !file.open( QIODevice::WriteOnly ) ) {
460     std::cout <<"ERROR: _Could_ _not_ _open_ _File_ _to_ _write_ _data" << std::endl;
461     return;
462   }
463
464   QTextStream textstream( &file );
465
466   if( !xCoords || !yCoords || !zCoords ){
467     std::cout <<"ERROR: _No_ _Data_ _to_ _save!" << std::endl;
468     return;
469   }
470
471   for( int count=0; count < *numPoints; count++ ){
472     textstream << xCoords[count] << "_" << yCoords[count]<< "_" << zCoords[count];
473     endl( textstream );
474   }

```

```

475     std::cout <<"Saved_" << *numPoints <<"_Points!"<< std::endl;
476     file.close();
477 }
478
479 void DataReader::saveScanToL3DFile(QString filename){
480     if(!m_myScan){
481         std::cout <<"ERROR:_Writing_to_file_failed!" << std::endl;
482     }
483
484     if(!m_myScan->writeToFile(filename.toAscii())){
485         std::cout <<"ERROR:_Writing_to_file_failed!" << std::endl;
486     }
487 }
488
489 void DataReader::bresen(int scanCount, int starty, int endy, int*& stepCorrection){
490     stepCorrection= new int[scanCount];
491     // sinnlose werte erstmal
492     for(int i = 0; i < scanCount; i++){
493         stepCorrection[i]=0;
494     }
495
496
497     double b;
498     //modf (cmath) 0,34= modf(2.34 , b);    => b = 2
499     float m=(float) modf( (endy - starty) /((double)scanCount), &b);
500     std::cout << "Gradient_m=_ " << m << std::endl;
501
502
503     int sy=0;
504     int ey=(int)(m*scanCount);
505
506     int dx, dy;
507     dx = scanCount;
508     dy = ey - sy;
509
510     int eps=0;
511     int y=0;
512
513     for ( int x = 0; x < scanCount; x++ ) {
514         eps += dy;
515         if ( (eps << 1) >= dx ) {
516             stepCorrection[x]=1;
517             y++;
518             eps -= dx;
519         }
520     }
521
522 }

```

```
523 |
524 | void DataReader::restorePortSettings() {
525 |   if (tcsetattr(fileno(m_uCFD), TCSADRAIN, &m_Oldtio) != 0) {
526 |     std::cout << "ERROR: DataReader::restorePortSettings(): tcsetattr() failed! Old port
527 |       settings could not be restored!" << std::endl;
528 |   }
529 | }
```

Literaturverzeichnis

- [cru07] <http://www.chip45.com/index.pl?page=Crumb8-USB&lang=de&tax=1&dest=0>. (2007). papers/datasheets/microcontroller/IS_Crumb8-USB_060226.pdf
- [hok06] <http://www.hokuyo-aut.jp/products/urg/urg.htm>. (2006). <http://www.hokuyo-aut.jp/products/urg/urg.htm>
- [Nüc06] NÜCHTER, Andreas: *Semantische dreidimensionale Karten für autonome mobile Roboter*, Rheinische Friedrich-Wilhelms-Universität Bonn, Diss., 2006. <https://www.uni-koblenz.de/~agas/Pool/Nuechter2006SDK.pdf>
- [PDMP06] PELLENZ, Johannes ; DELIS, Christian ; MIHAILIDIS, Ioannis ; PAULUS, Dietrich: Low-Cost 3D-Laserscanner für mobile Systeme im RoboCup Rescue Wettbewerb. In: *9. Anwendungsbezogener Workshop zur Erfassung, Modellierung, Verarbeitung und Auswertung von 3D-Daten* (2006)
- [SD03] STEINHAUS, Peter ; DILLMANN, Rüdiger: Aufbau und Modellierung des RoSi Scanners zur 3D-Tiefenbildakquisition. In: *Autonome Mobile Systeme 2003*, Springer, 2003
- [SLNH01] SURMANN, Hartmut ; LINGEMANN, Kai ; NÜCHTER, Andreas ; HERTZBERG, Joachim: *Aufbau eines 3D-Laserscanners für autonome mobile Roboter*. <http://publica.fhg.de/eprints/B-73174.pdf>, <https://www.uni-koblenz.de/~agas/Pool/Surmann2001AE3.pdf>.
Version: 2001

- [TMD⁺06] THRUN, Sebastian ; MONTEMERLO, Michael ; DAHLKAMP, H. ; STAVENS, D. ; ARON, A. ; DIEBEL, J. ; FONG, P. ; GALE, J. ; HALPENNY, M. ; HOFFMANN, G. ; LAU, K. ; OAKLEY, C. ; PALATUCCI, M. ; PRATT, V. ; STANG, P. ; STROHBAND, S. ; DUPONT, C. ; JENDROSSEK, L.-E. ; KOELEN, C. ; MARKEY, C. ; RUMMEL, C. ; NIEKERK, J. van ; JENSEN, E. ; ALESSANDRINI, P. ; BRADSKI, G. ; DAVIES, B. ; ETTINGER, S. ; KAEHLER, A. ; NEFIAN, A. ; MAHONEY, P.: Winning the DARPA Grand Challenge. In: *Journal of field Robotics* (2006). – accepted for publication
- [URG04] *URG Series Communication Protocol Specification.* : *URG Series Communication Protocol Specification*, 2004. papers/datasheets/laserscanner/URGCommSpec.pdf
- [URG05] *Scanning Laser Range Finder URG-04LX Specifications.* : *Scanning Laser Range Finder URG-04LX Specifications*, 2005. papers/datasheets/laserscanner/URGSpecificaton.pdf
- [WW03] WULF, O. ; WAGNER, B.: Fast 3D-Scanning Methods for Laser Measurement Systems. In: *14th International Conference on Control Systems and Computer Science* (2003). file: [:///lab/as/Docs/Protected/Wulf2003F3M.pdf](http://lab/as/Docs/Protected/Wulf2003F3M.pdf), fish: [//serres/lab/as/Docs/Protected/Wulf2003F3M.pdf](http://serres/lab/as/Docs/Protected/Wulf2003F3M.pdf)